

Praxiserfahrungen mit der Thermografie im Bauwesen

Physik, Fallstricke, Lösungen Vortrag am 11.11.2025 in Kassel

Dr.-Ing.

Torsten Richter

ö.b.u.v. Sachverständiger für Feuchteschutz, Wärmeschutz mit Schwerpunkt Gebäudethermografie

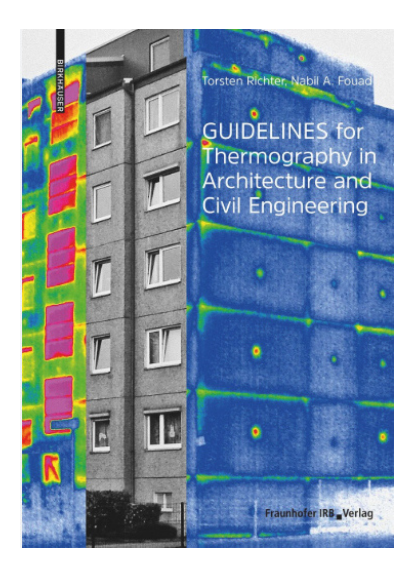


Leibniz Universität Hannover Institut für Bauphysik 1. Auflage - 2006

Englische Ausgabe -2021

5. Auflage -2025







Leitfaden Thermografie im Bauwesen

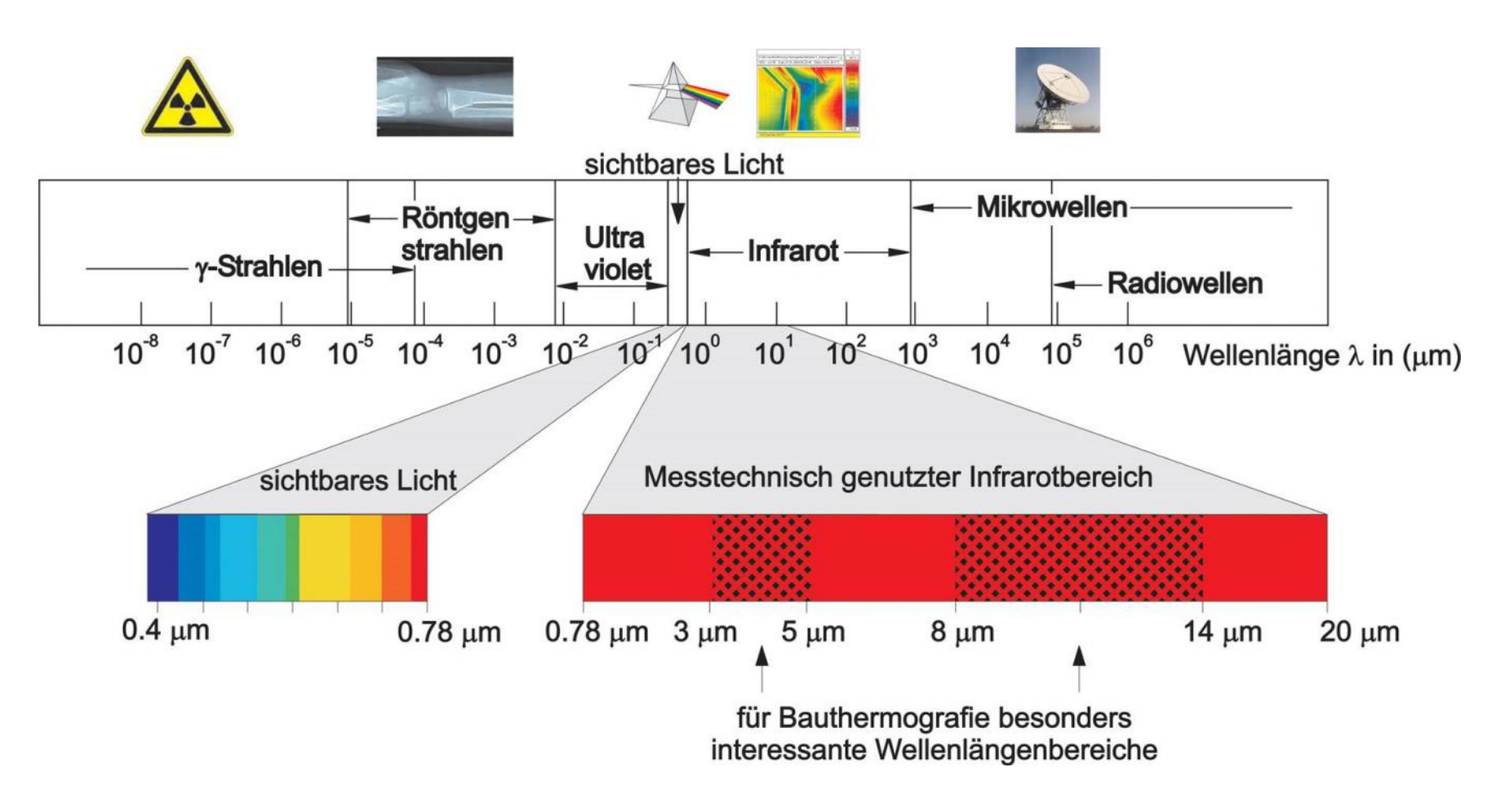
Nabil A. Fouad, Torsten Richter 2025, 5., vollst. überarb. u. erw. Aufl., 272 Seiten, 524 Abb., 12 Tab., 37 Formeln, Softcover ISBN 978-3-7388-0991-6

Preise

Buch: € 64,– E-Book: € 64,– BuchPlus (Buch + E-Book): € 83,20



Grundprinzip



Elektromagnetisches Spektrum



Die nach dem von STEFAN und BOLTZMANN entdeckten Gesetz für die aufsummierte Gesamtenergiemenge **M** [W/m²] berechnet sich zu:

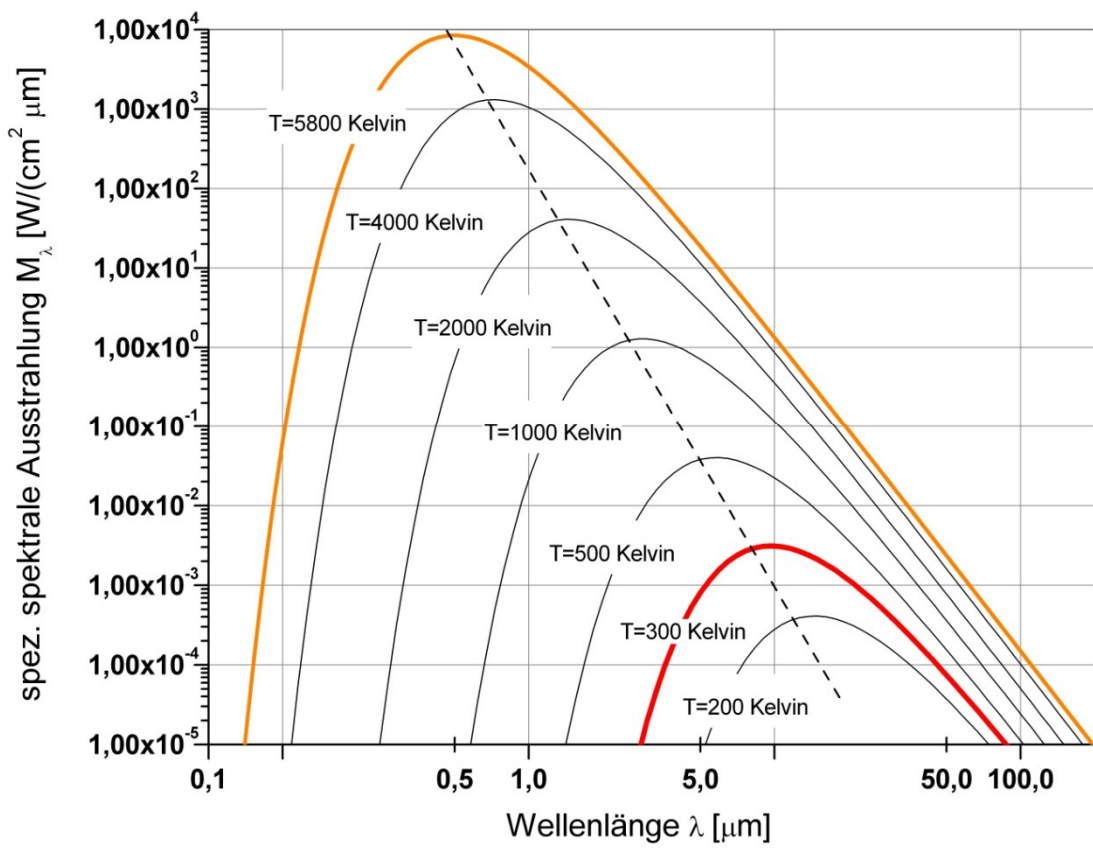
$$M[W/m^2] = \sigma \cdot T^4 = C_s \cdot (T/100)^4$$

mit:

- σ Stefan-Boltzmann-Konstante = 5,67 · 10⁻⁸ W/(m²K⁴)
- C_S Strahlungskoeffizient des schwarzen Körpers = 5,67 W/(m^2K^4)
- T absolute Temperatur T [K] = $273,15 + \theta$ [°C]

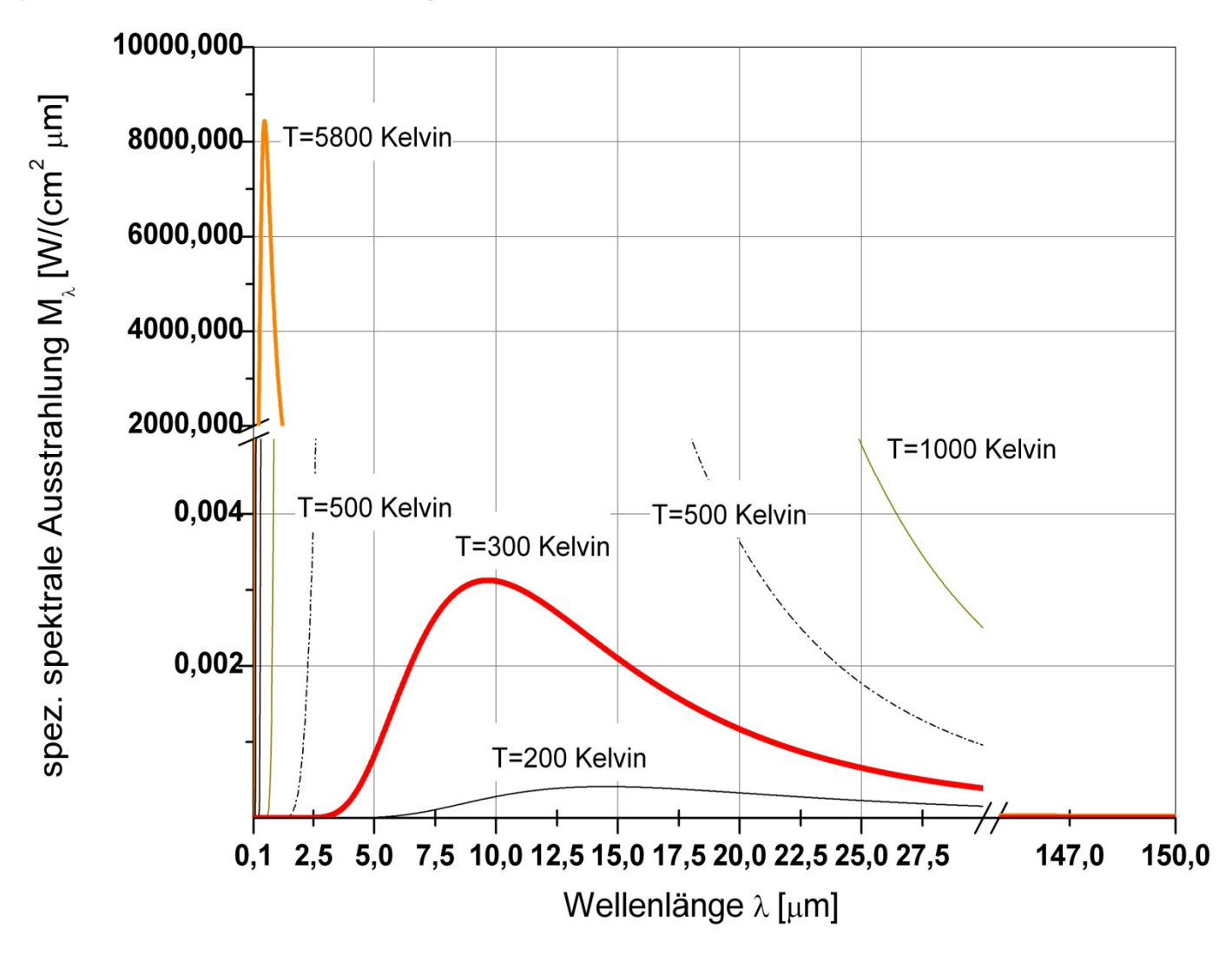


PLANCK`sches Strahlungsgesetz: Ausstrahlungscharakteristik eines schwarzen Körpers in Abhängigkeit der Absoluttemperatur T [Kelvin] und Wellenlänge λ [μ m].



Darstellung mit doppelt logarithmischen Achsen







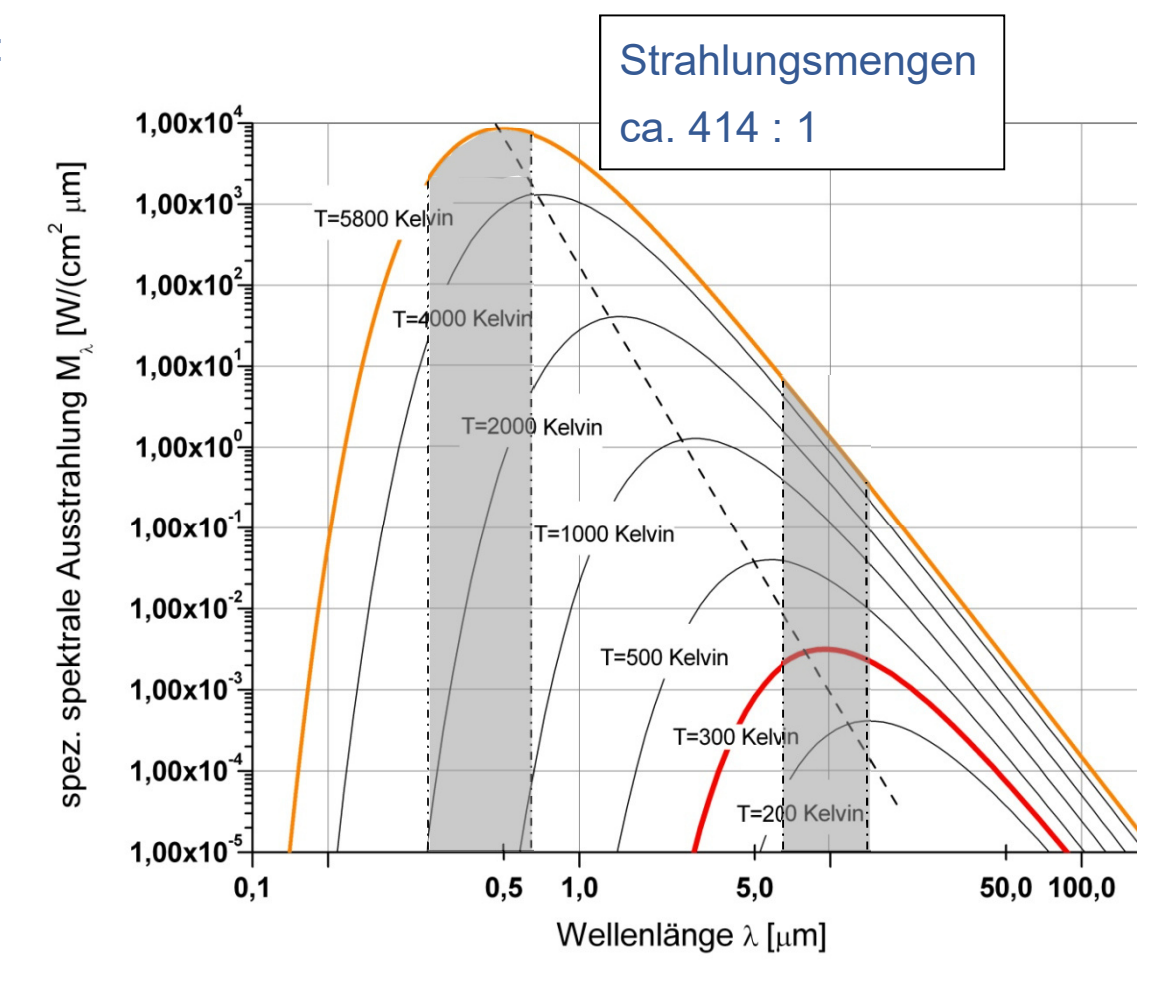
PLANCK`sches Strahlungsgesetz:

Größenvergleich 1:

Ausstrahlung der Sonne (5800 K) im sichtbaren kurzwelligen Wellenlängenbereich (0,4 μm bis 0,79 μm) zum langwelligen Infrarotbereich von 8 μm bis 14 μm:

Verhältnis der Strahlungsmengen ca. 414 : 1

(Integration der Strahlungskurven in den Wellenlängengrenzen)





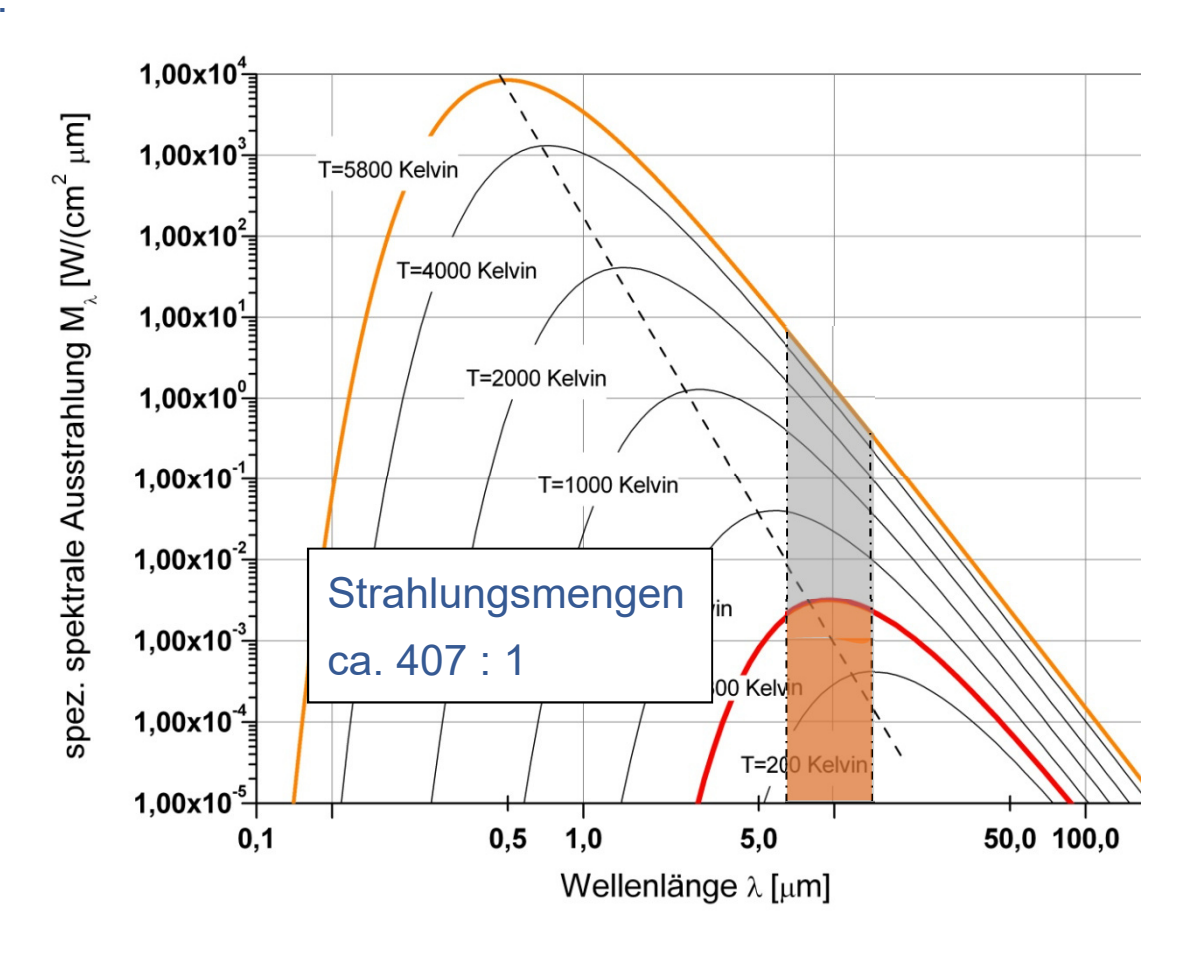
PLANCK`sches Strahlungsgesetz:

Größenvergleich 2:

Ausstrahlung der Sonne (5800 K) im langwelligen Infrarotbereich von 8 μm bis 14 μm im Vergleich zu einem schwarzen Körper mit 300 Kelvin:

Verhältnis der Strahlungsmengen ca. 407 : 1

Fazit: keine Außenthermografien bei Sonne









Moderne Thermografiesysteme lassen sich nach vielen Gesichtspunkten klassifizieren.

Als eine grobe Klassifizierung können Kamerasysteme in

- Scannende Kameraeinheiten (Singledetektor bzw. Detektorleiste) oder
- FPA Kameras mit einer Empfängermatrix eingeteilt werden.

Bei den Detektortypen, dem eigentlichen Empfänger, kommen zwei grundsätzlich unterschiedliche Typen zum Einsatz:

- Thermische Detektoren oder
- Quantendetektoren (auch Photonen- oder Halbleiterempfänger genannt)



Optische Elemente - Linsensysteme

Zur Charakterisierung des optischen Systems von IR-Kamera werden folgende Größen angegeben:

FOV: Field Of View [Grad] (Bildfeld, Blickfeldwinkel)

IFOV: Instantaneous Field Of View [mrad] (Blickfeldwinkel des Detektors)

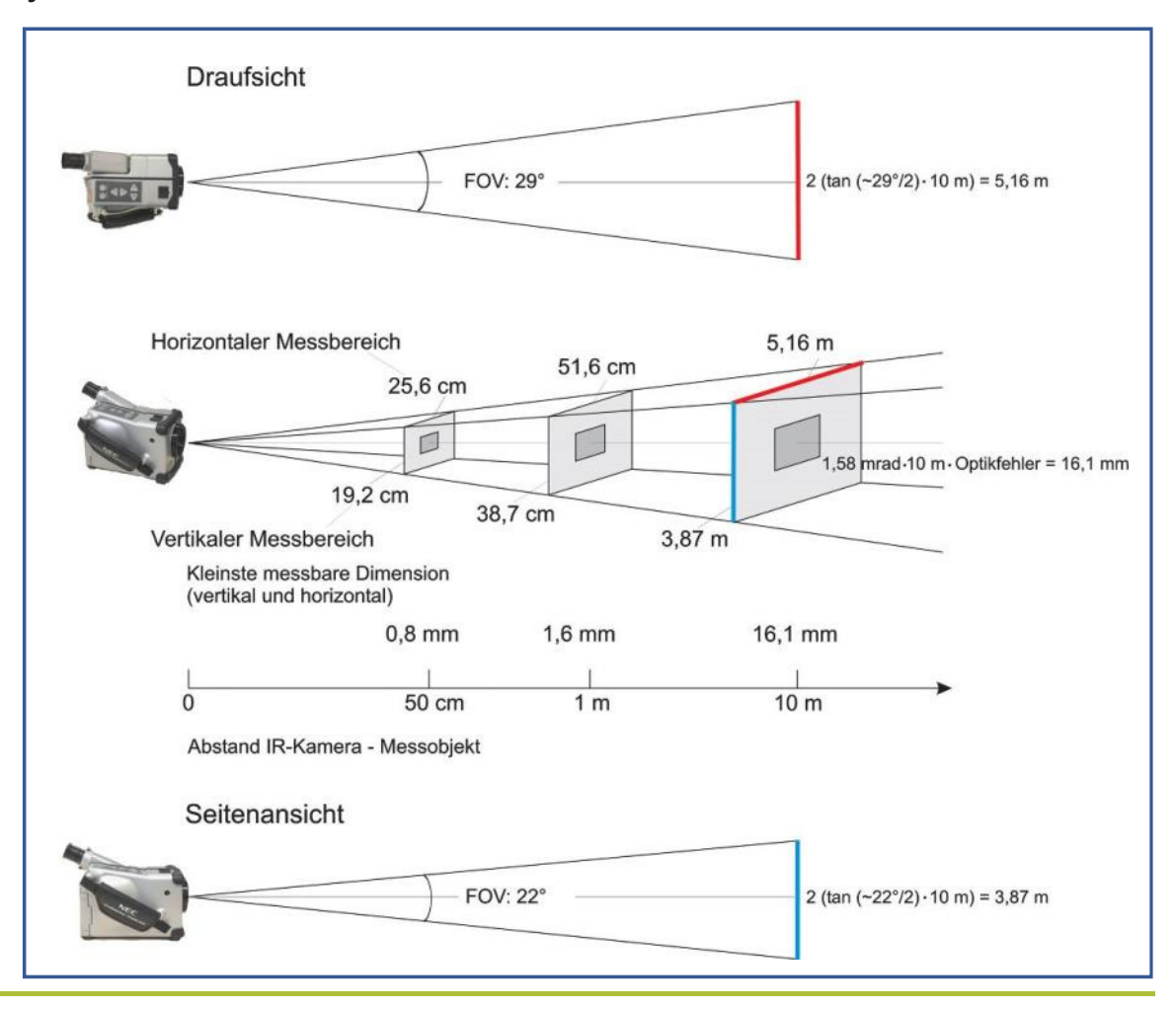






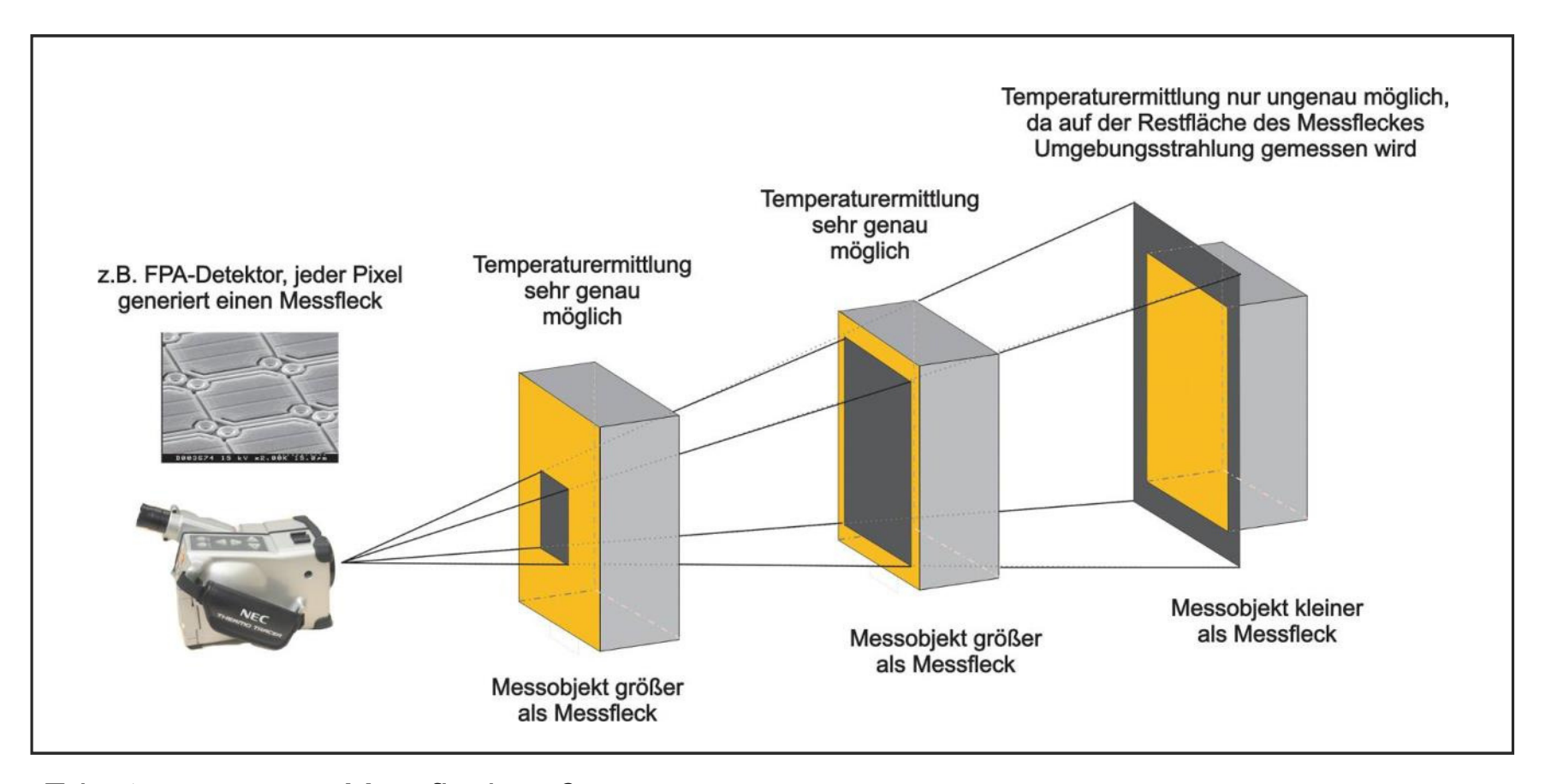
Optische Elemente - Linsensysteme

Erläuterungen zur geometrischen Spezifikation von IR-Camara-Systemen (FOV und IFOV)





Optische Elemente - Linsensysteme

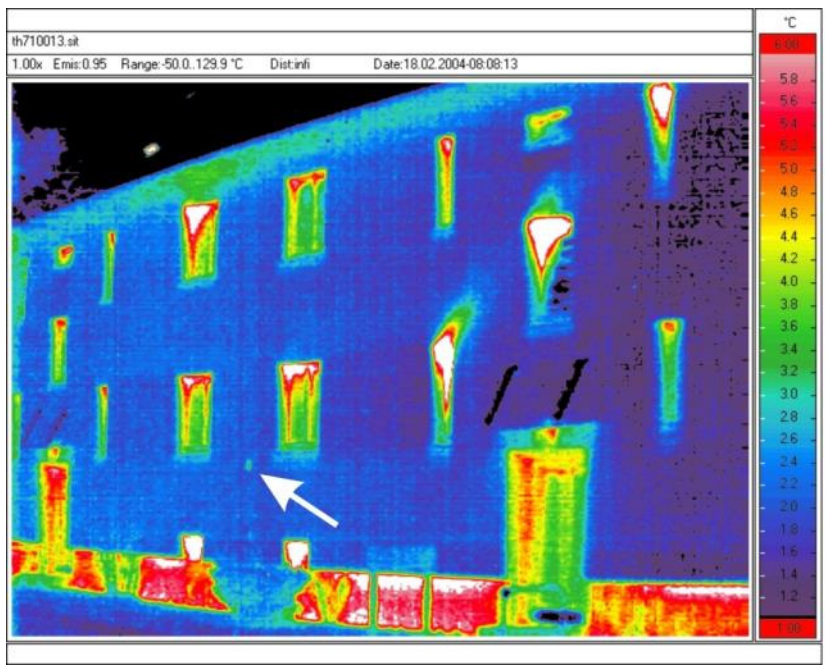


Erläuterungen zur Messfleckgröße



Der Abstandseffekt



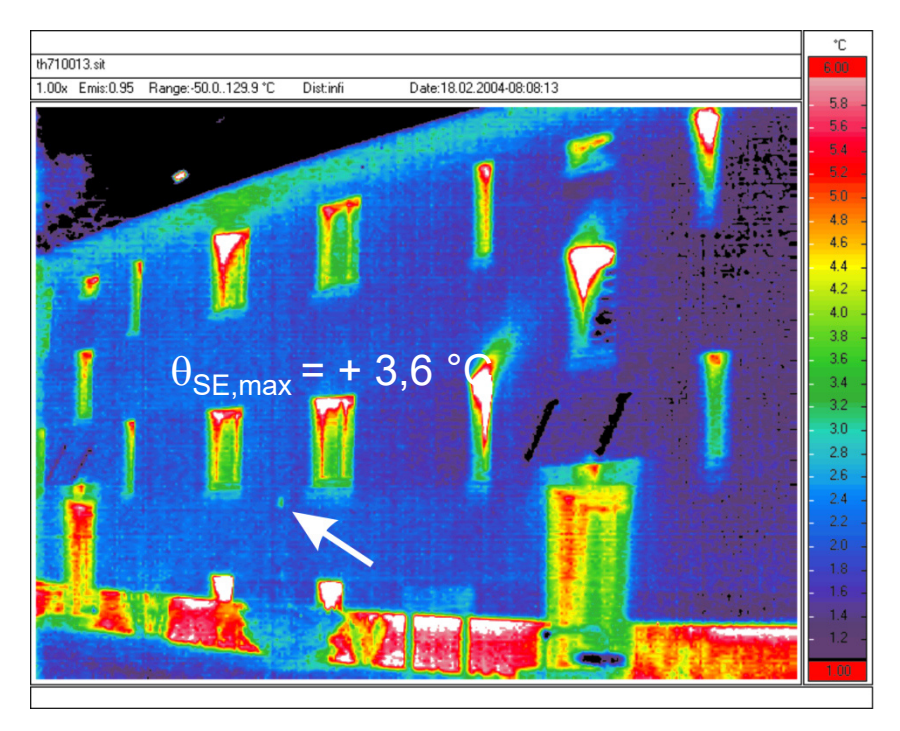


Bestandsgebäude mit WDV-System

	Temperaturran	Weitere		
Aufnahmedatum	Außenlufttemperatur	Innenlufttemperatur	Informationen	
18.02.2005 08:00 Uhr	ca. +3,5 °C	ca. +22 °C	J.	

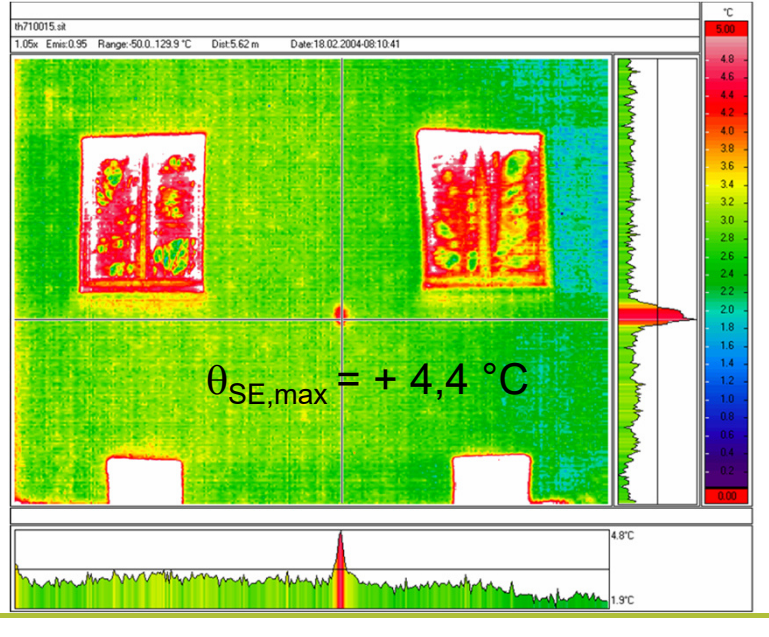


Der Abstandseffekt



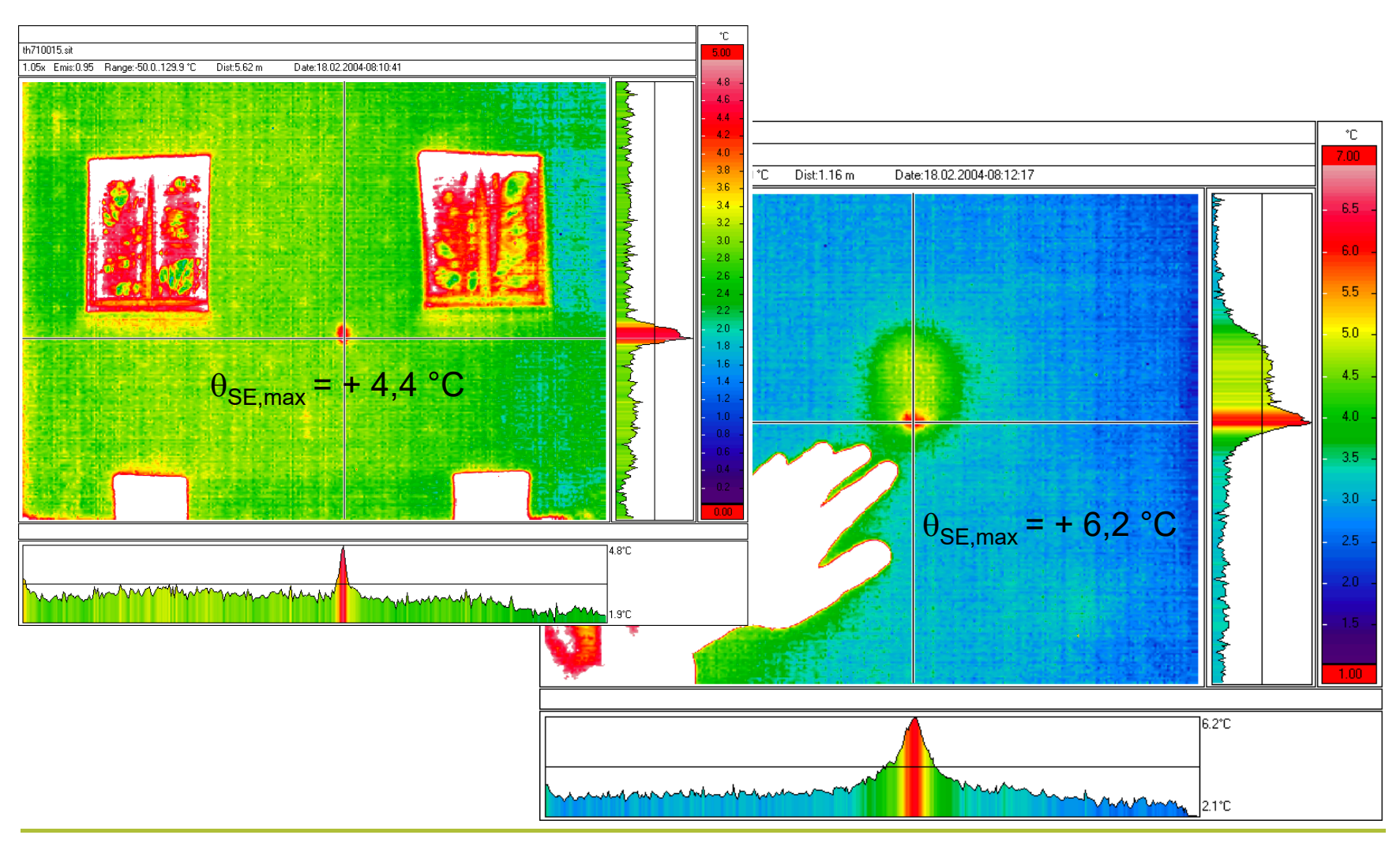
Mit Annäherung an die Untersuchungsstelle wird der angezeigte Temperaturwert höher.





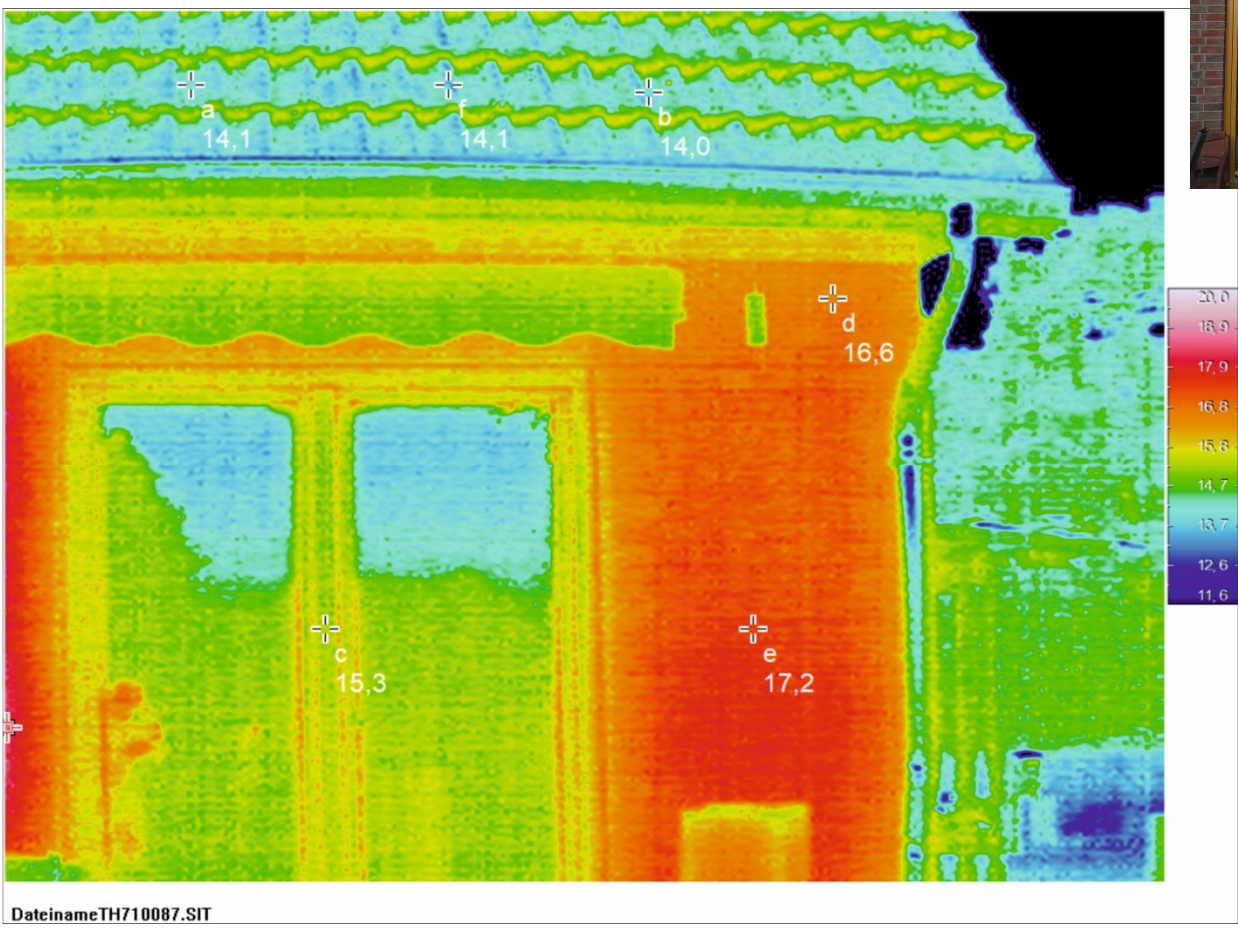


Der Abstandseffekt





Qualität der Kameras



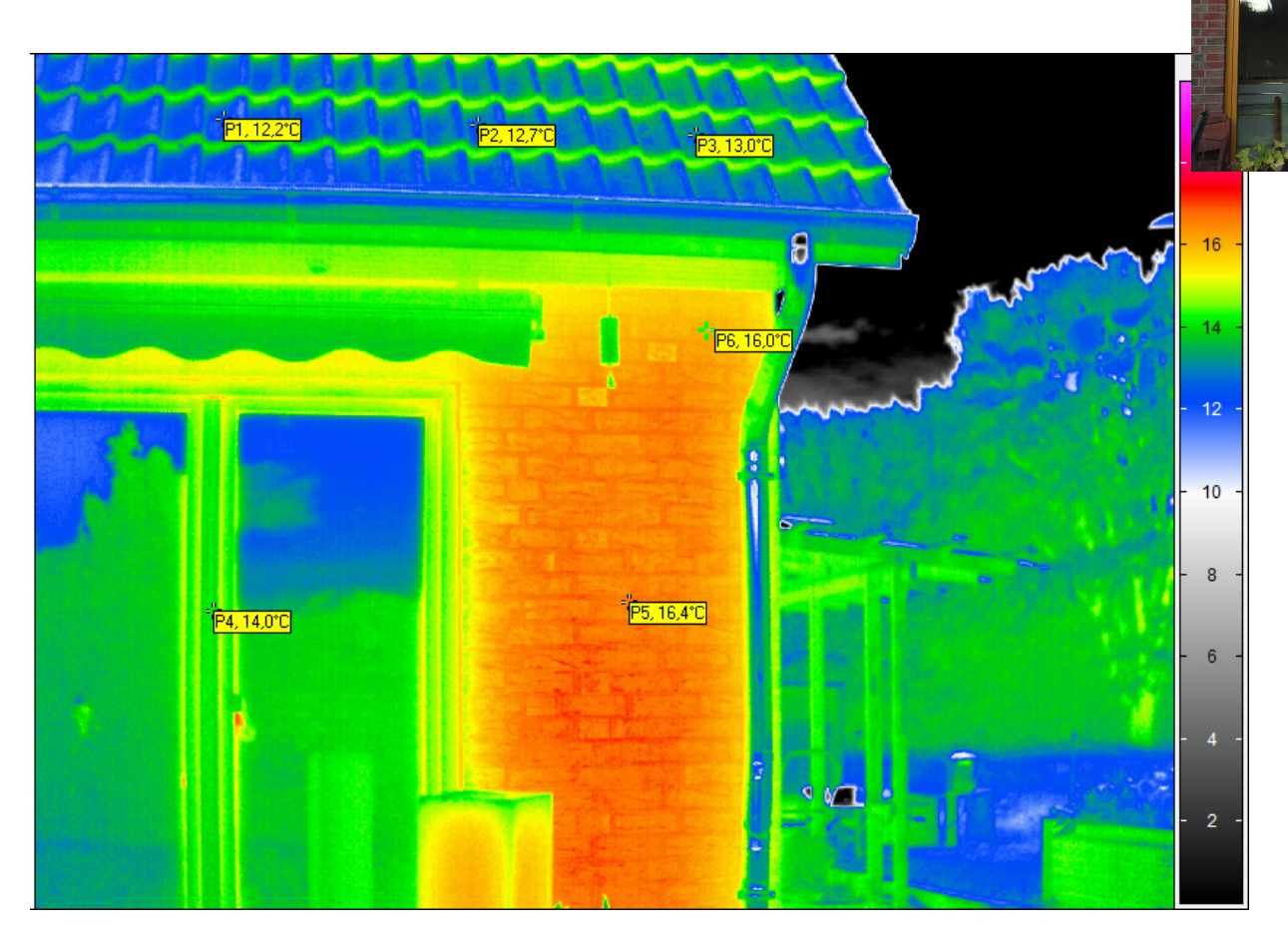




Kamera 320 x 240 Pixel



Qualität der Kameras





Kamera 1024 x 768 Pixel

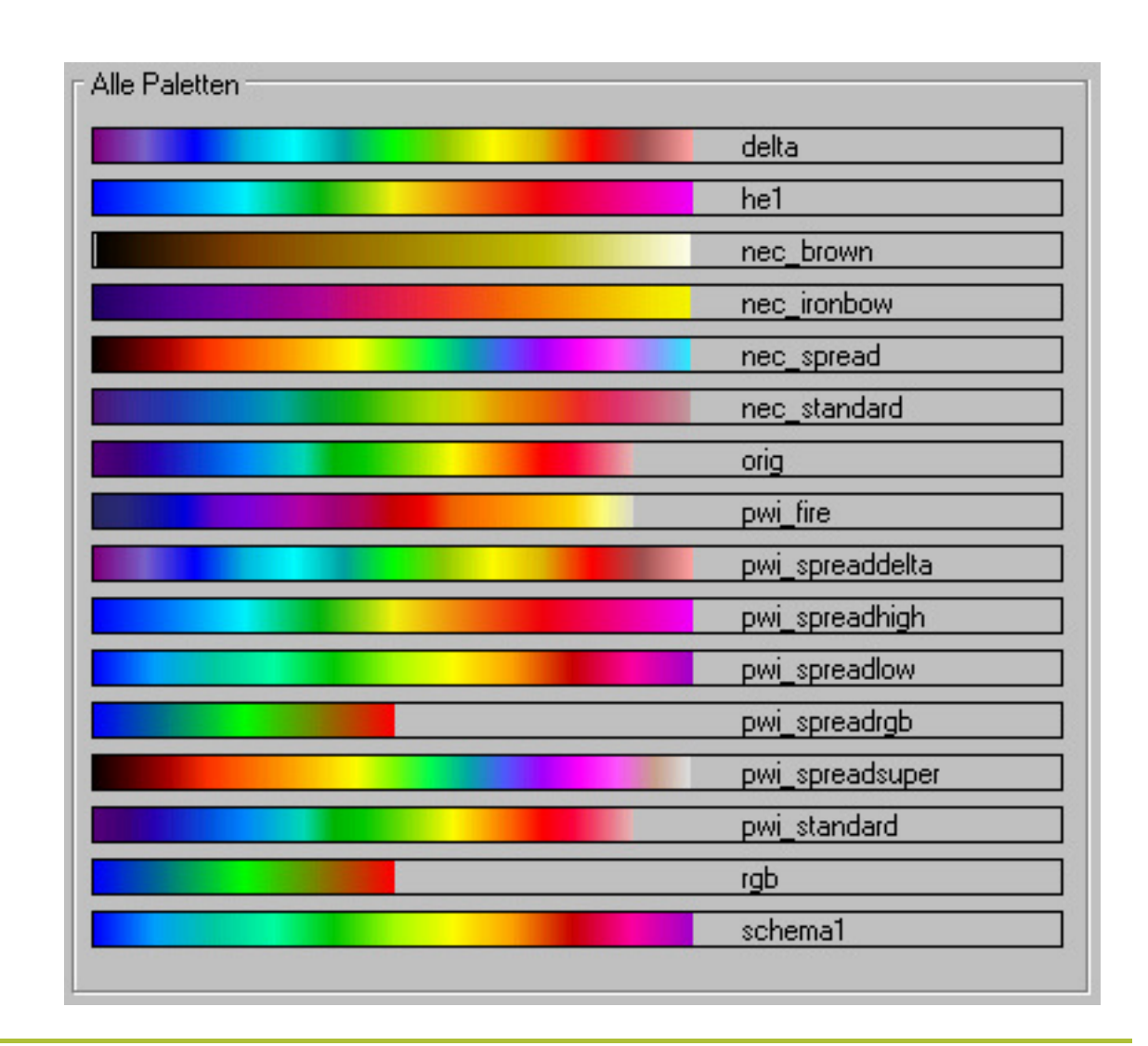


Darstellung von Thermogrammen



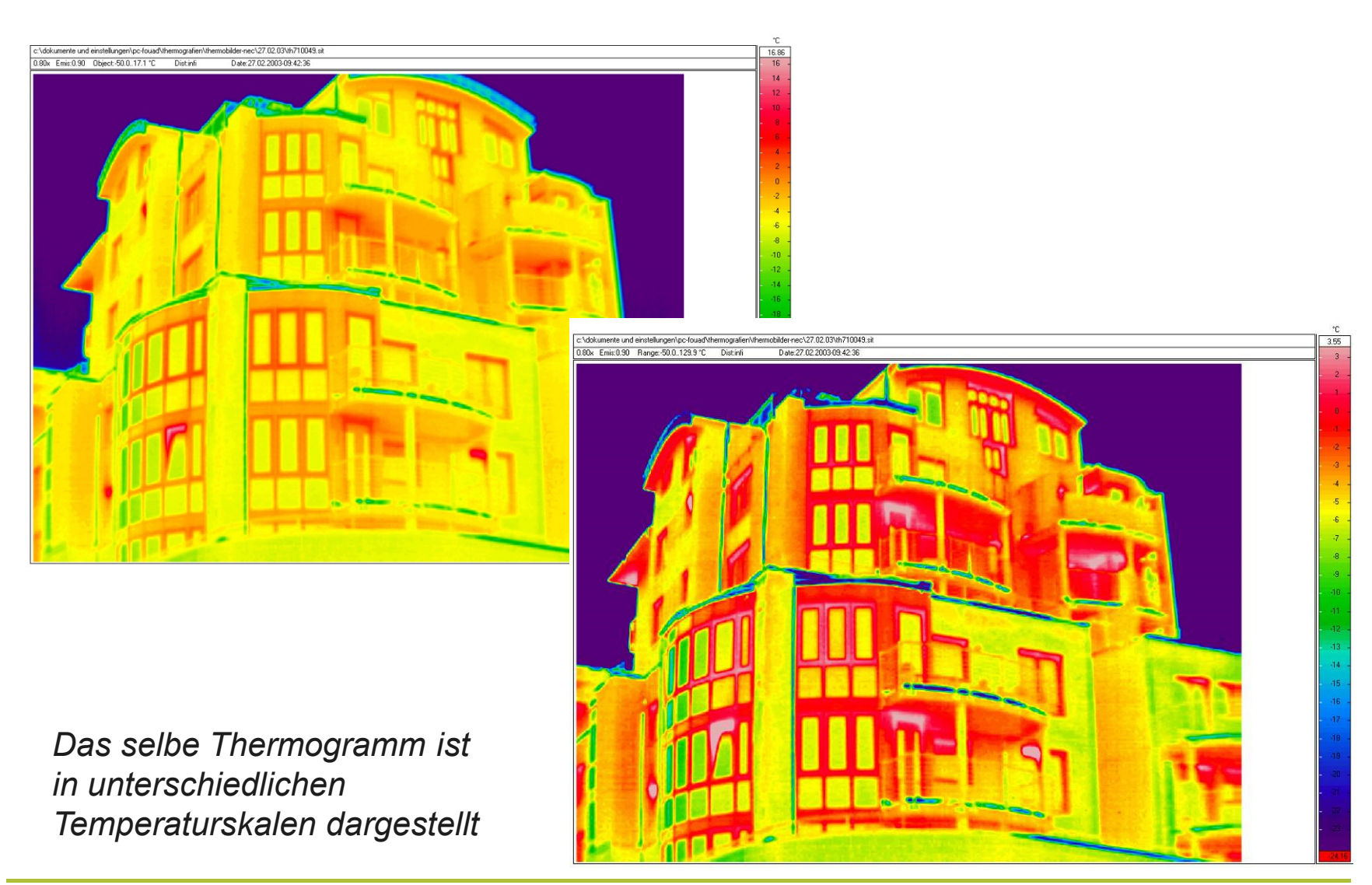




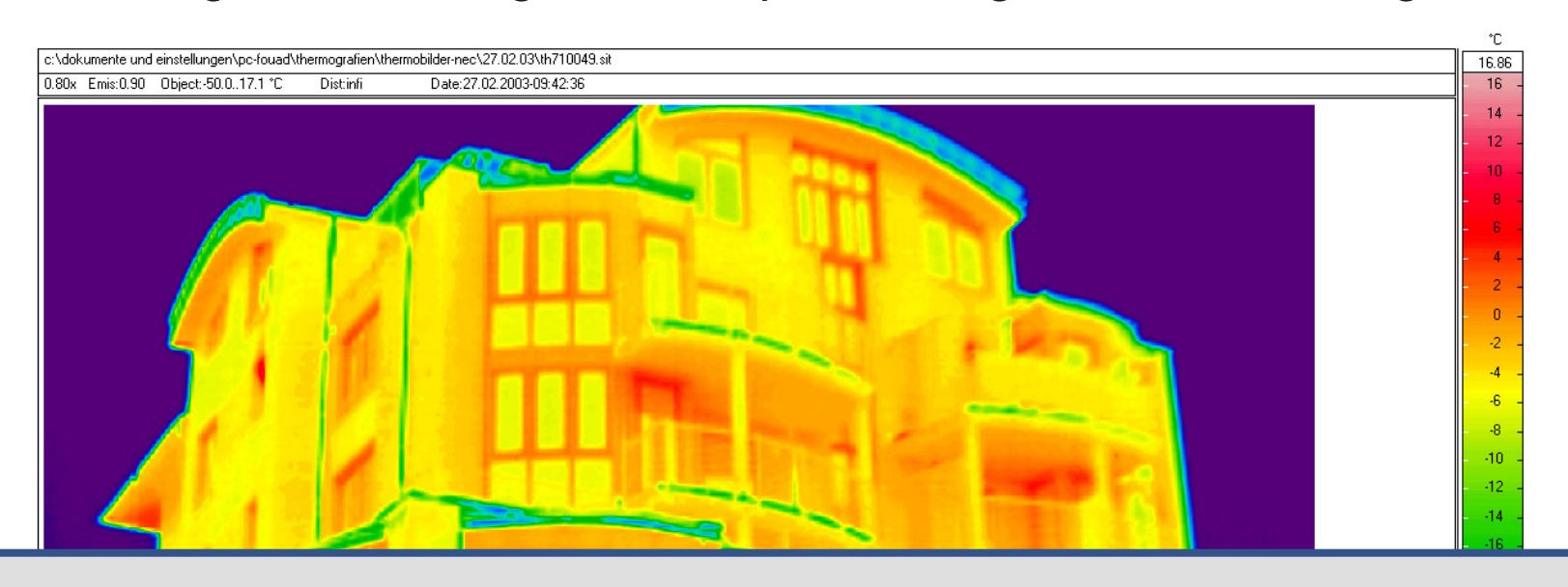


Beispiel möglicher Temperaturskalen





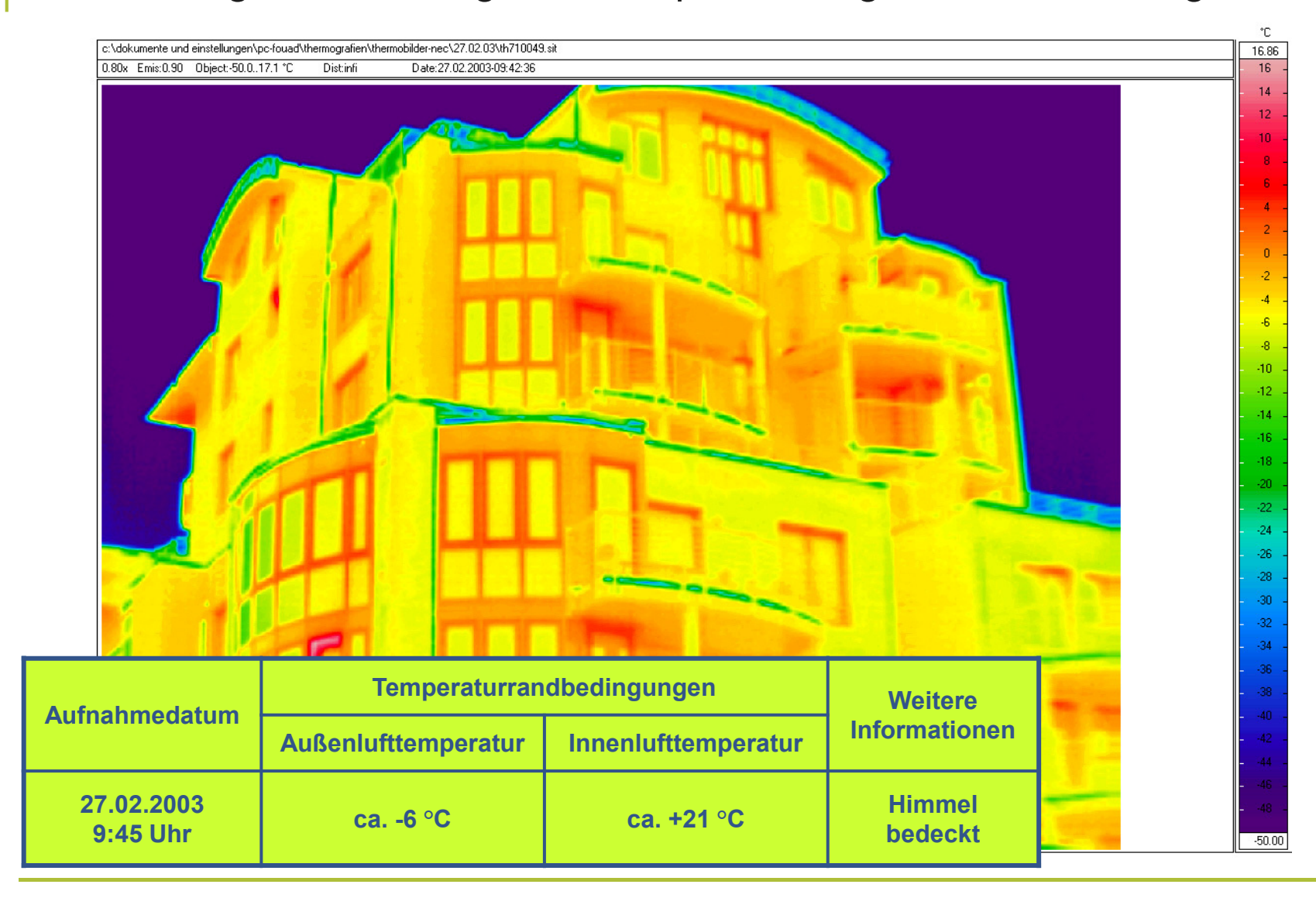




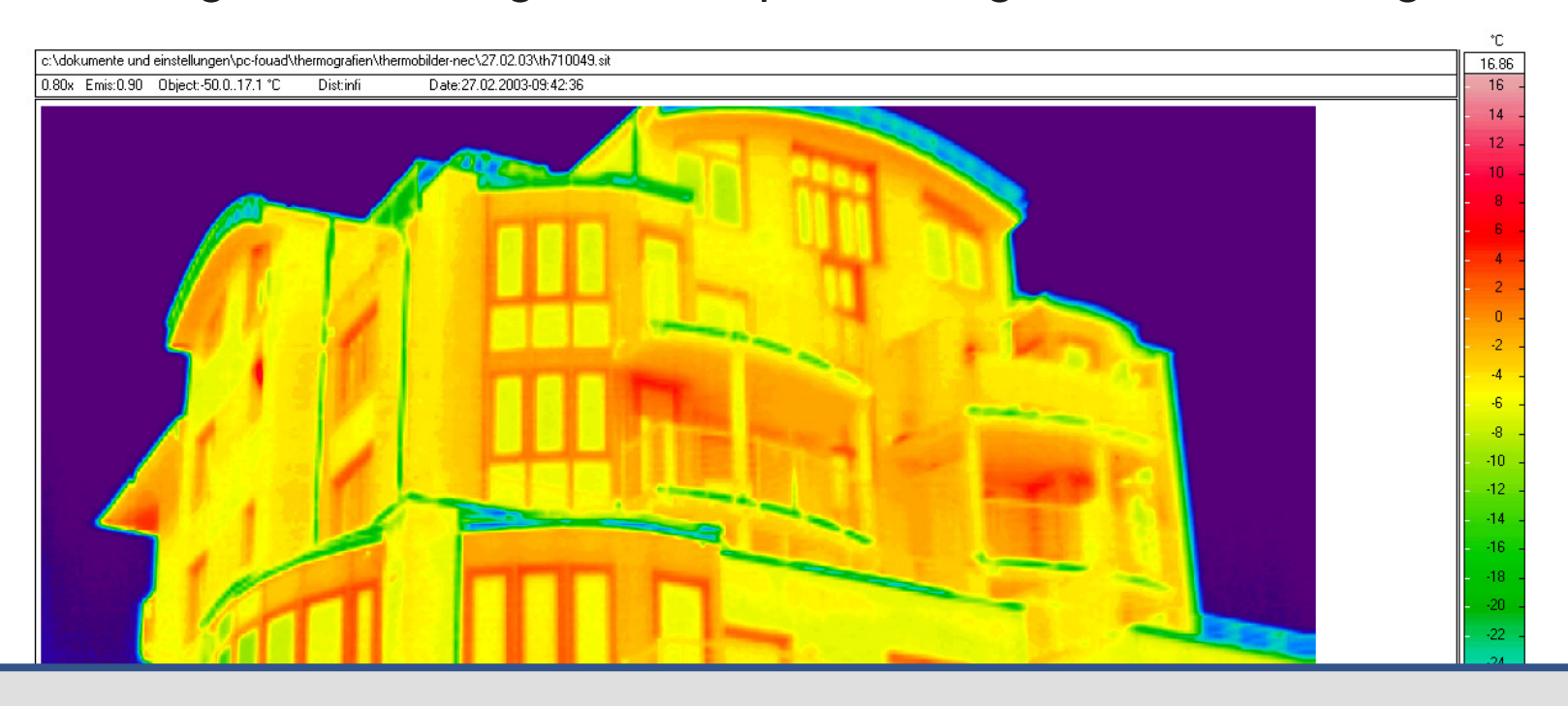
Vorschlag zu Gestaltungsregeln für Darstellungsneutralität (nach Dittié, G.):

- Die Skalierung bei 0,7 x der Temperaturdifferenz $\Delta\theta = (\theta_i \theta_e)$
- Bei Außenthermogramm sollte die Außenlufttemperatur bei ca. 20% der Skala angeordnet werden
- Bei Außenthermogramm sollte die Außenlufttemperatur bei ca. 60% der Skala angeordnet werden





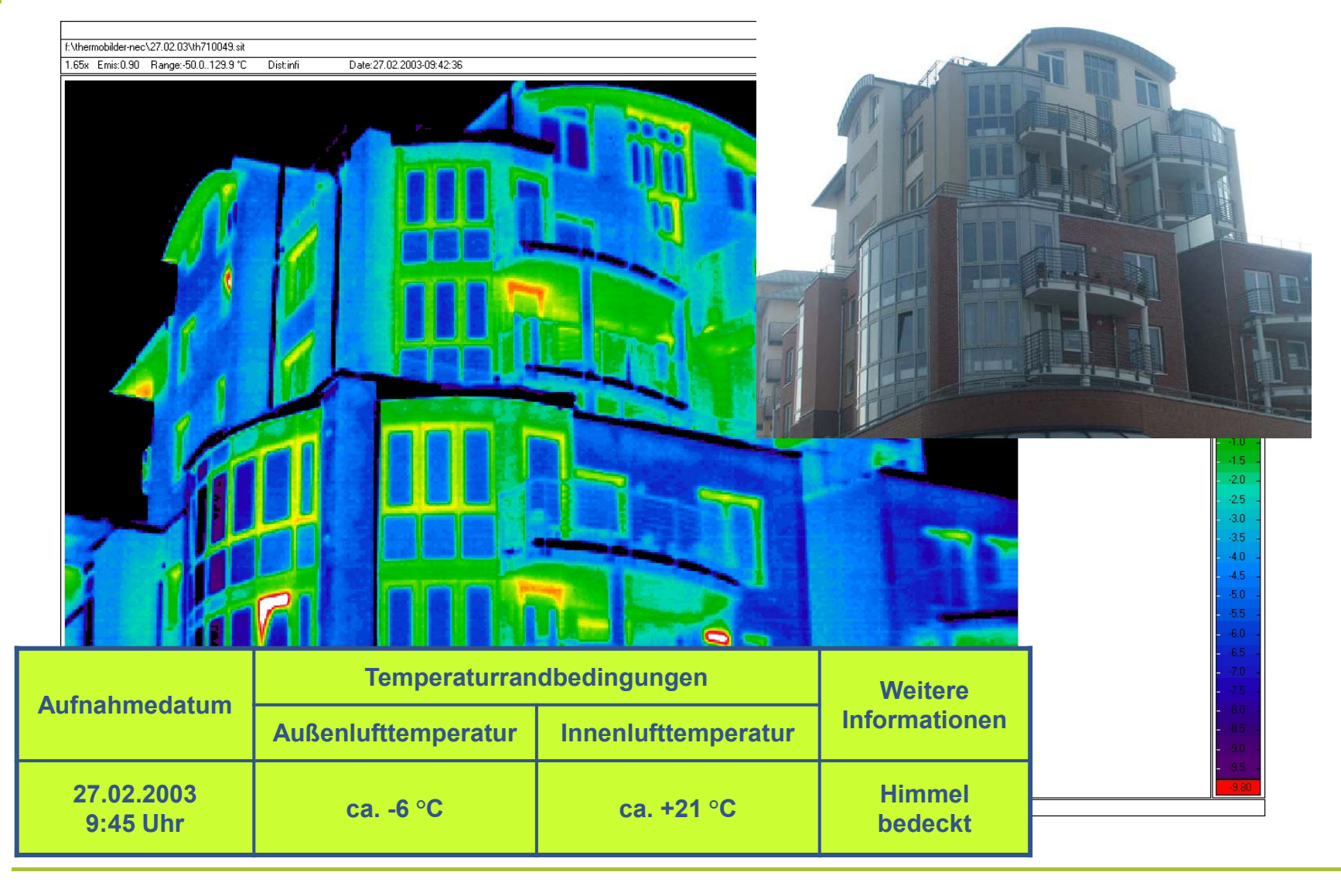




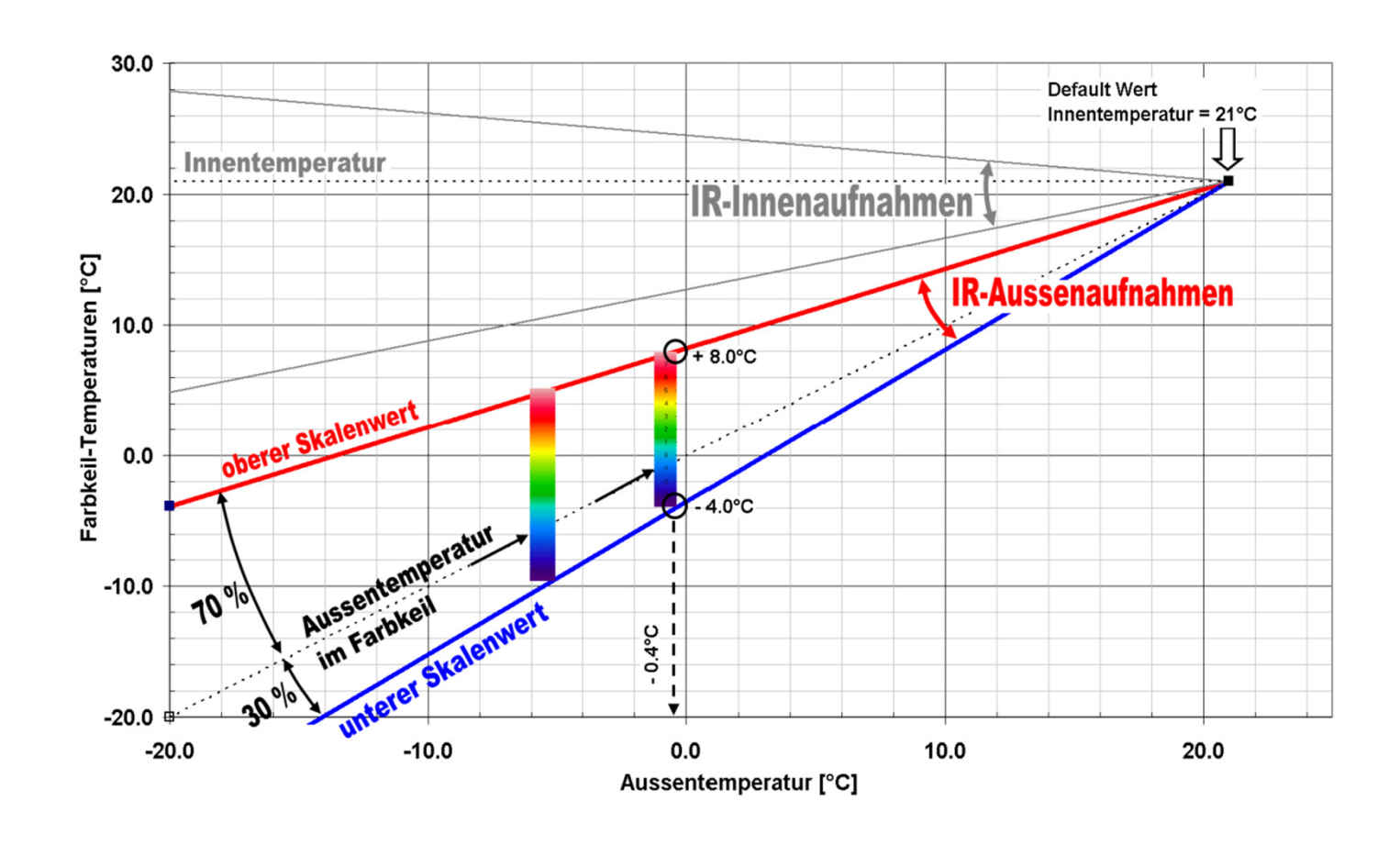
Vorschlag zu Gestaltungsregeln für Darstellungsneutralität (nach Dittié, G.):

- Temperaturdifferenz $\Delta\theta$ = (21°C (-6°C)=27 K)
- Die Skalierung bei 0,7 x der Temperaturdifferenz = 0,7 · 27 K = 18,9 K
- Die Außenlufttemperatur soll bei ca. 20% der Skala angeordnet werden



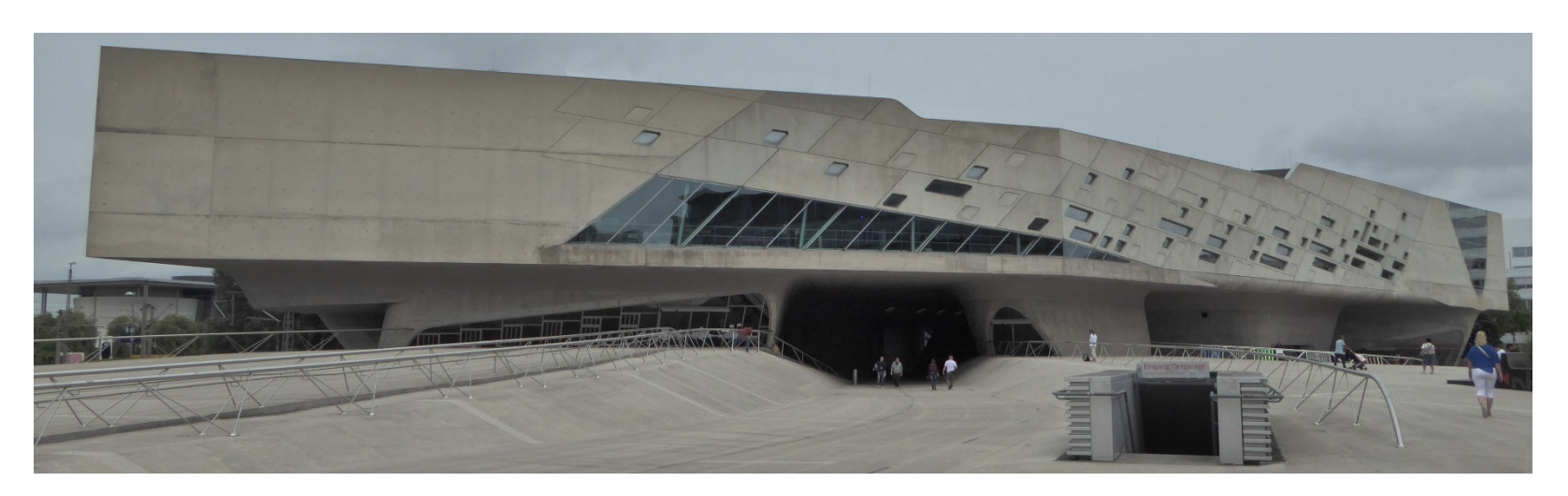


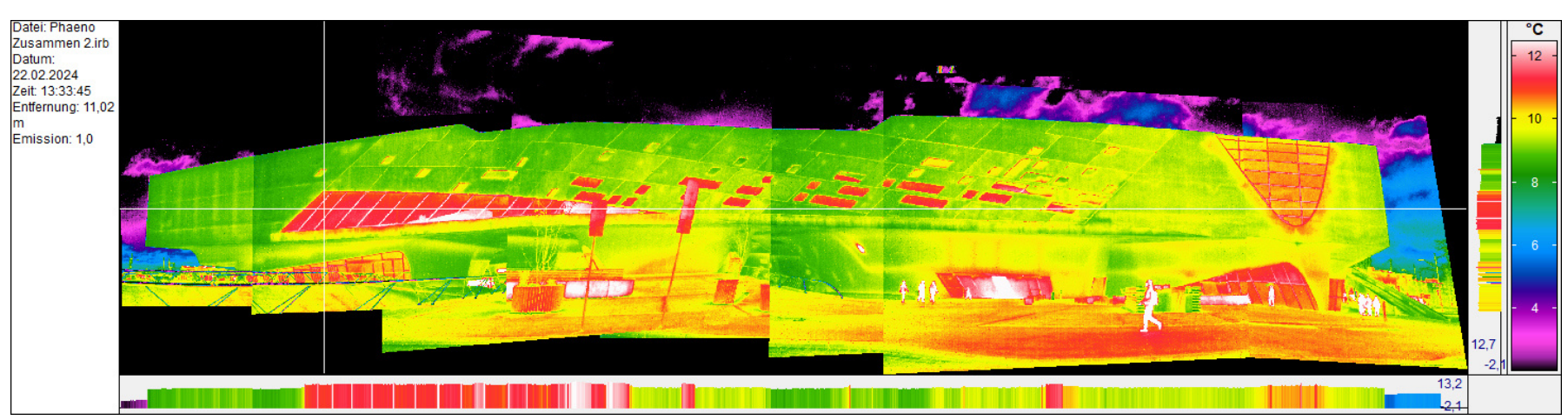




Skalierungsmethode "QualiThermo", Schweiz







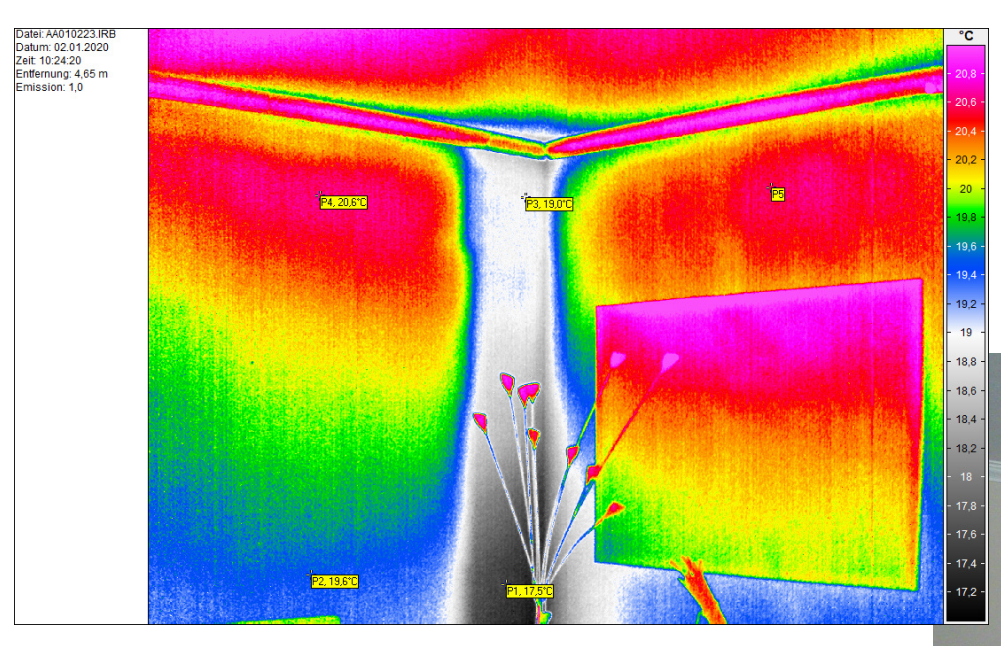
Zusammensetzung von Thermogarmmen, hier IRBIS 3 mosaic



Anwendung der Thermografie in der Bautechnik



Innenaufnahme



Thermografie

Aufnahme-	Außenluft-	Innenluft-	Weitere Informationen
datum	temperatur	temperatur	
02.01.2020 vormittag	ca. +1 °C	ca. +21 °C	Außenlufttemperatur 24 h vor Messung: +1°C bis – 2°C



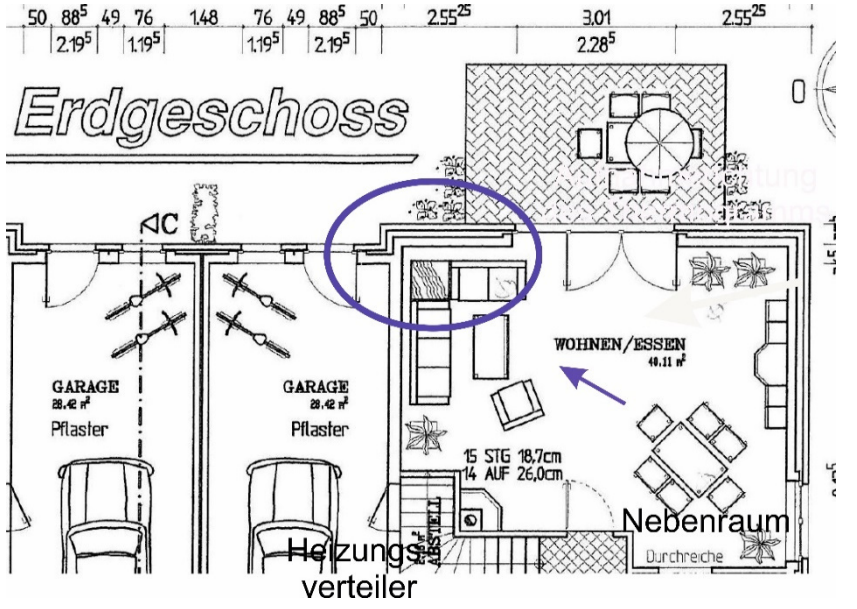


Referenzfoto



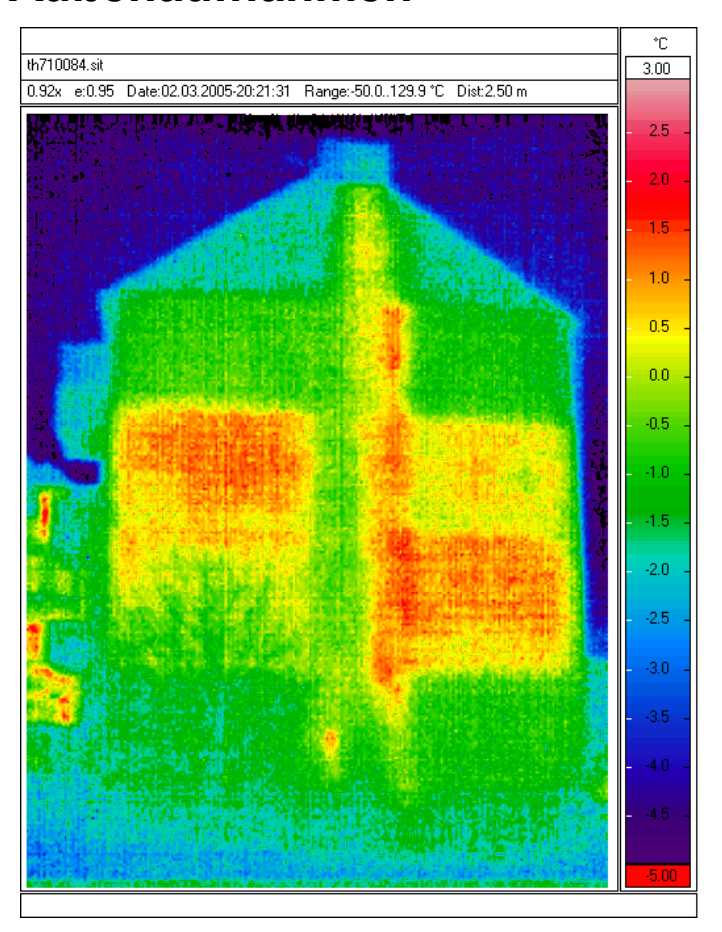
Ursache der Auffälligkeit: vergessene Wärmedämmung im Bereich der Ecke zur Garage

Aufnahme-	Außenluft-	Innenluft-	Weitere Informationen
datum	temperatur	temperatur	
02.01.2020 vormittag	ca. +1 °C	ca. +21 °C	Außenlufttemperatur 24 h vor Messung: +1°C bis – 2°C





Außenaufnahmen



Thermografie

Schachbrettmuster Geschosswohnungen Referenzfoto

Aufnahme	Außenluft-	Innenluft-	Weitere
-datum	temperatur	temperatur	Informationen
02.03.2005 nachts	ca1 °C	ca. +22 °C	J.



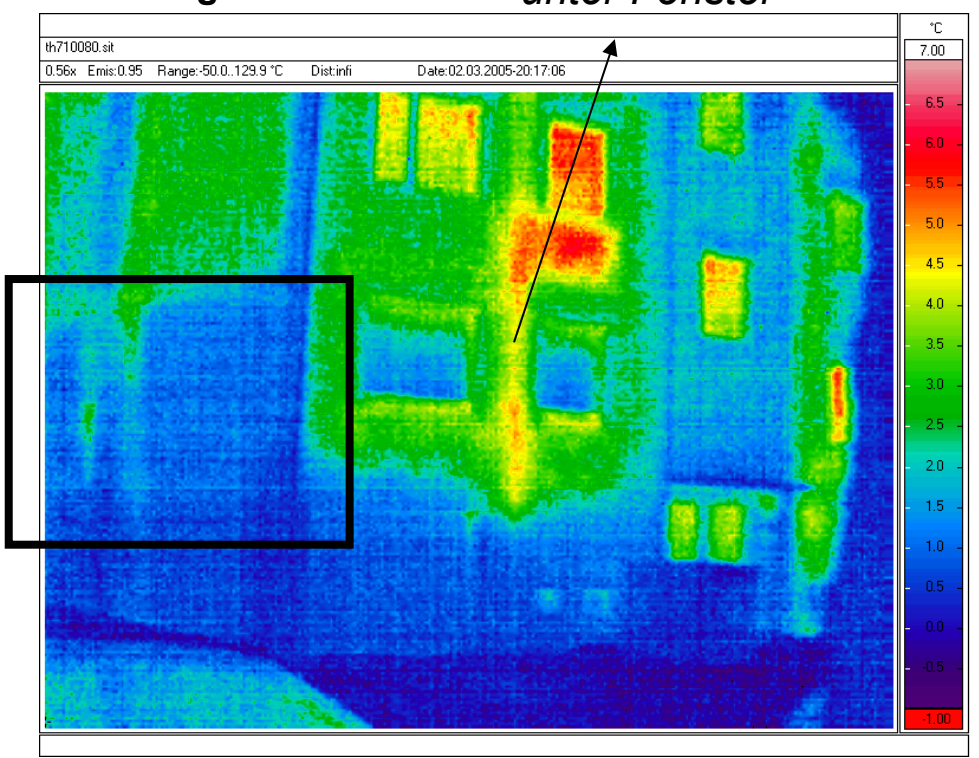


Außenaufnahmen

Heizungszuleitung im Außenmauerwerk/ Heizkörper

Thermografie

unter Fenster

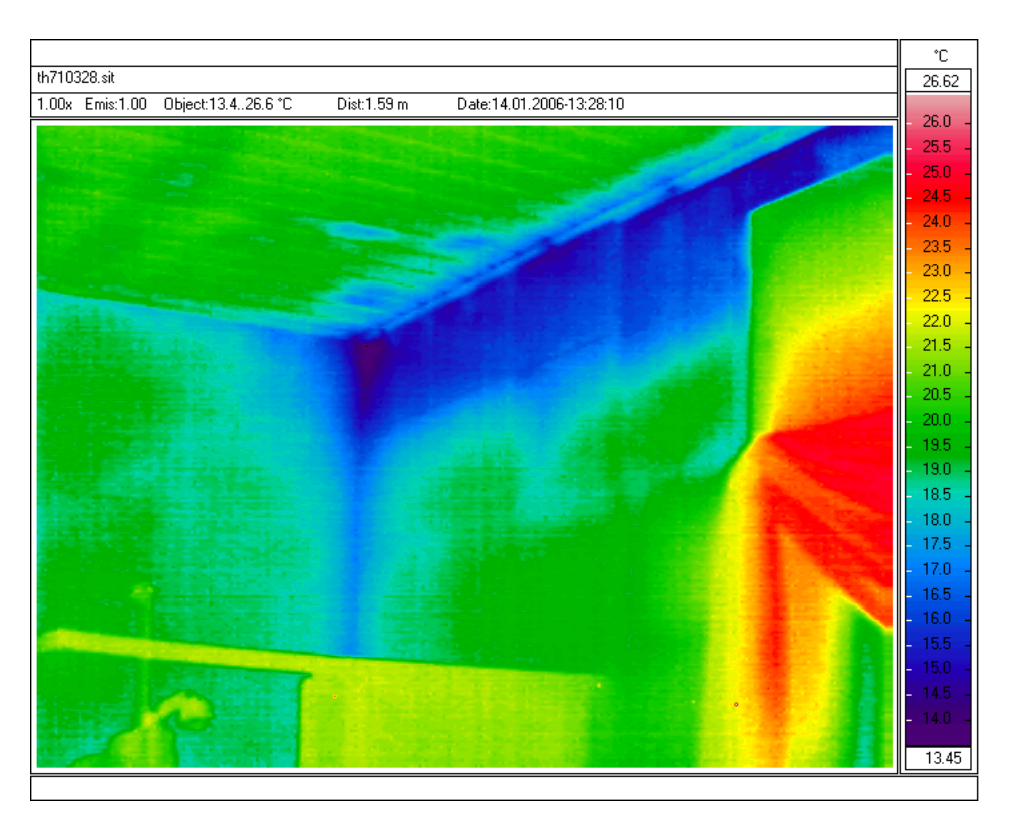












Aufnahme-	Außenluft-	Innenluft-	Weitere
datum	temperatur	temperatur	Informationen
14.01.2006 mittag	ca5°C	ca. +22 °C	

Bestandsgebäude (ca.1983)

-Fenstersturz mit durchlaufenden Stahlträger

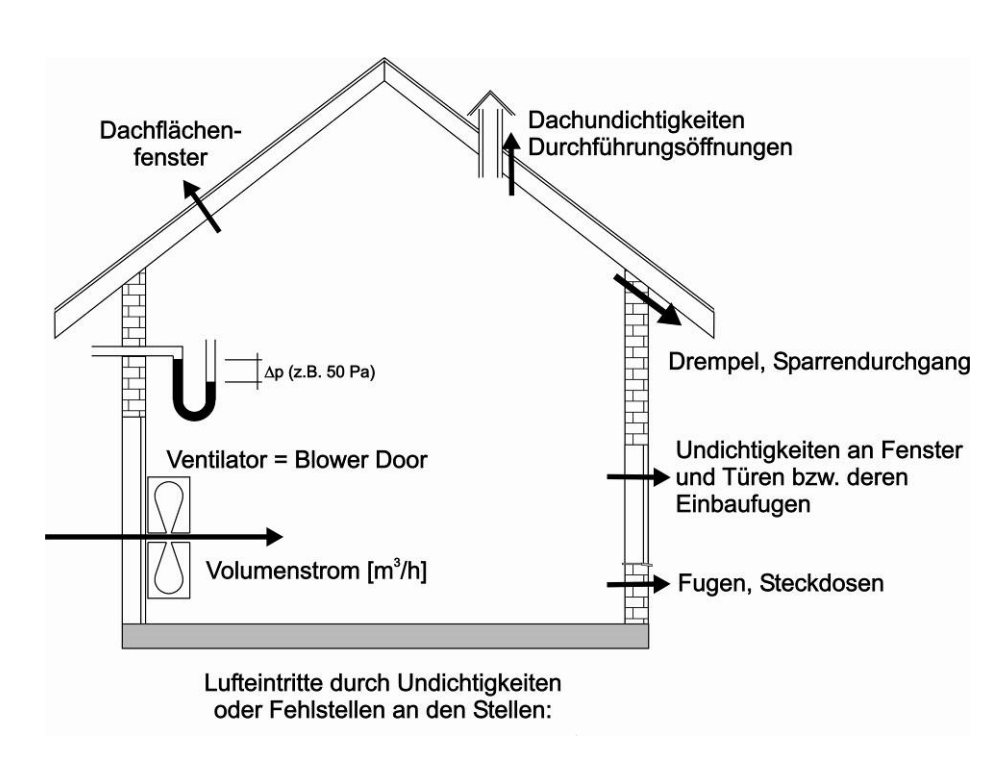
Temperaturunterschied ca. 6 Kelvin





Thermografie zur Lokalisierung von Luftundichtigkeiten

Unterstützung der Thermografie mit Differenzdruckverfahren (Blower-Door)



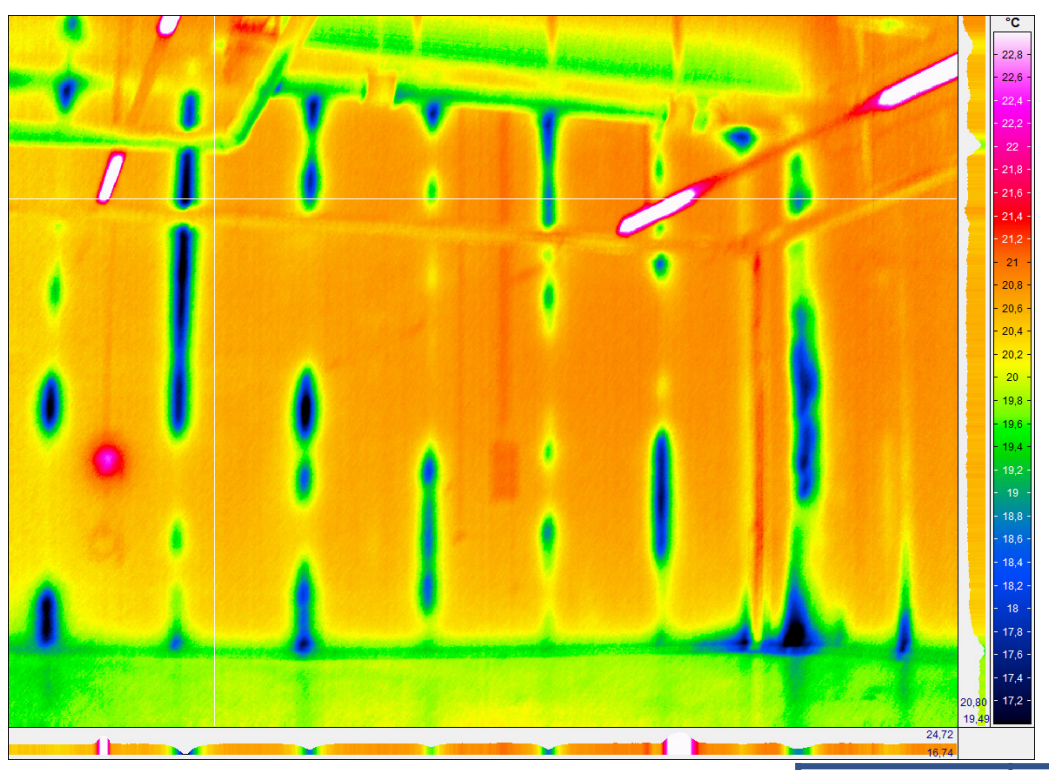
Prinzip der Differenzdruck-Prüfung (auch Blower-Door-Prüfung genannt), hier Überdruckregime





Thermografie zur Lokalisierung von Luftundichtigkeiten

Unterstützung der Thermografie mit Differenzdruckverfahren (Blower-Door)

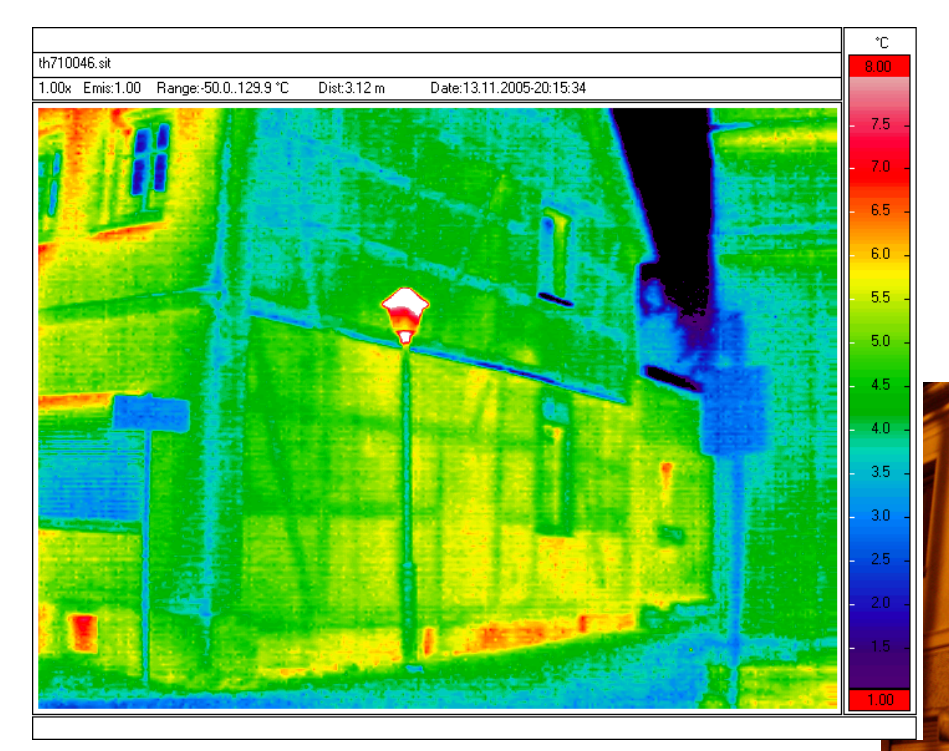




Aufnahme-	Außenluft-	Innenluft-	Weitere
datum	temperatur	temperatur	Informationen
12.05.2020 vormittag	ca. +5 °C	ca. +23 °C	Klimakammer, Unterdruck mit Gebläse erzielt



Thermografie zur Lokalisierung von Konstruktionseinzelheiten



Referenzfoto

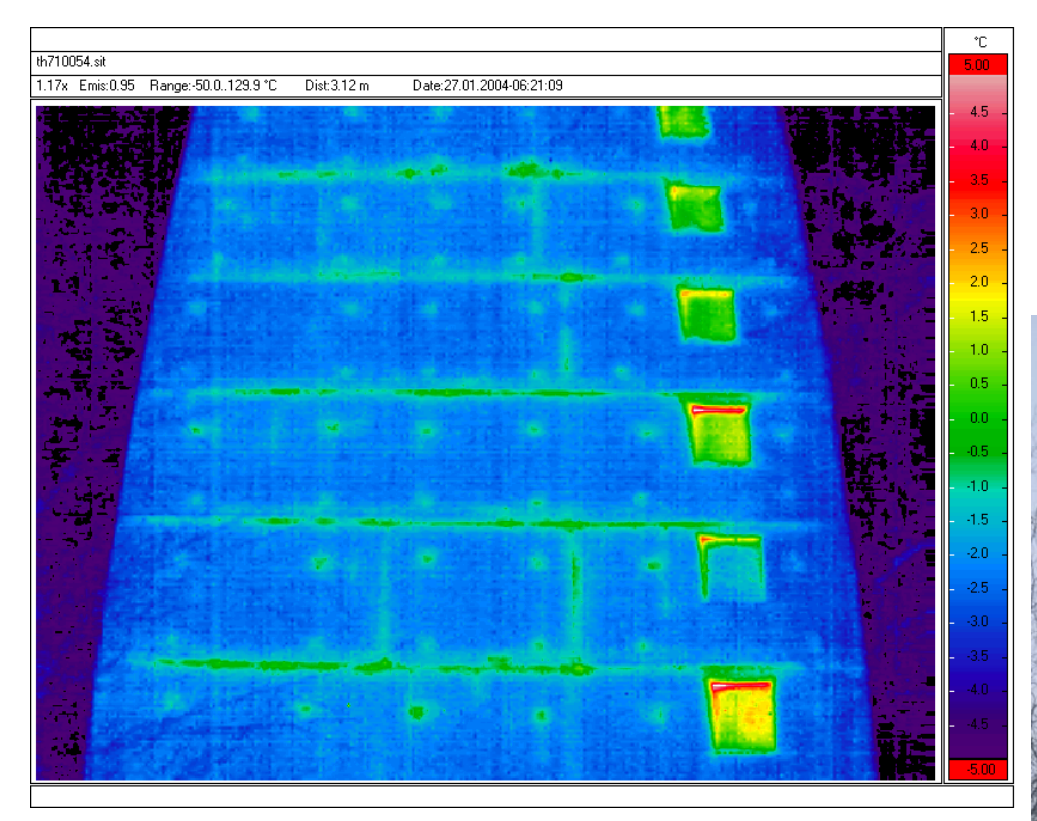
Thermografie

Sichtbarmachung verputzter Fachwerkstrukturen mit Hilfe der Thermografie





Thermografie zur Lokalisierung von Konstruktionseinzelheiten



Thermografie

Metallische Einbauteile (Traganker) zeichen sich auf der Wetterschutzschale durch punktuell höhere Oberflächentemperaturen ab.

Referenzfoto





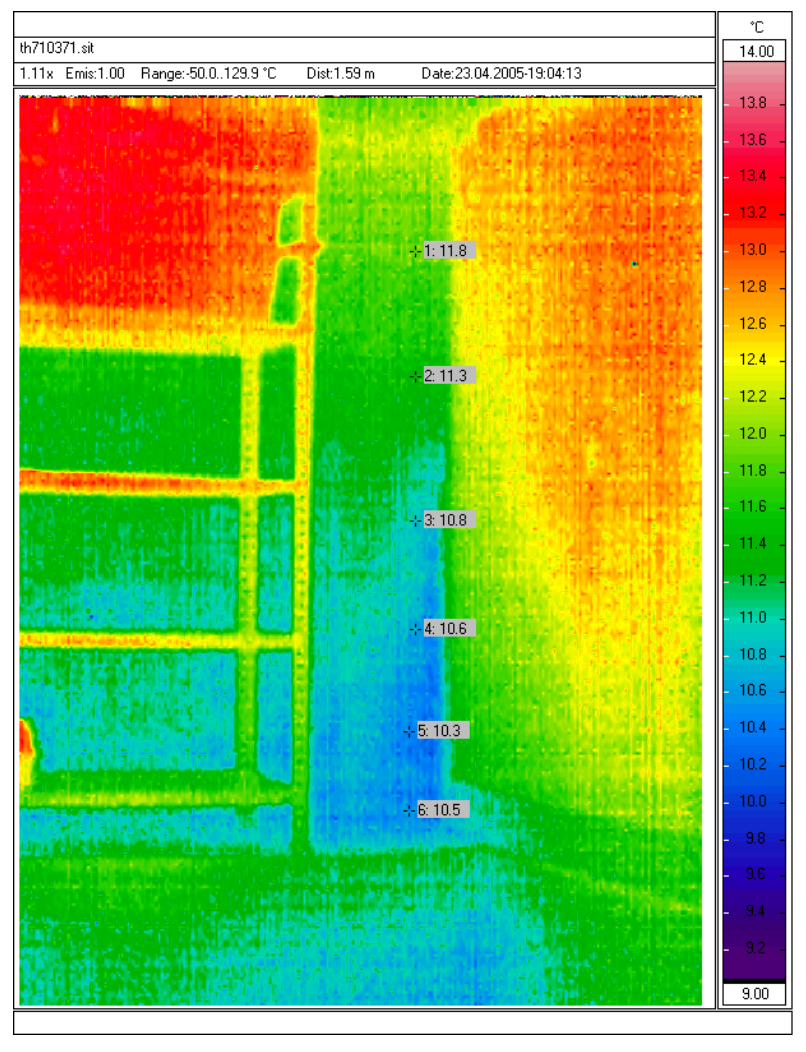
Thermografie zur Lokalisierung von Konstruktionseinzelheiten





Thermografie zur Lokalisierung von Durchfeuchtungen





Durchfeuchtete Bereiche einer Kelleraußenwand



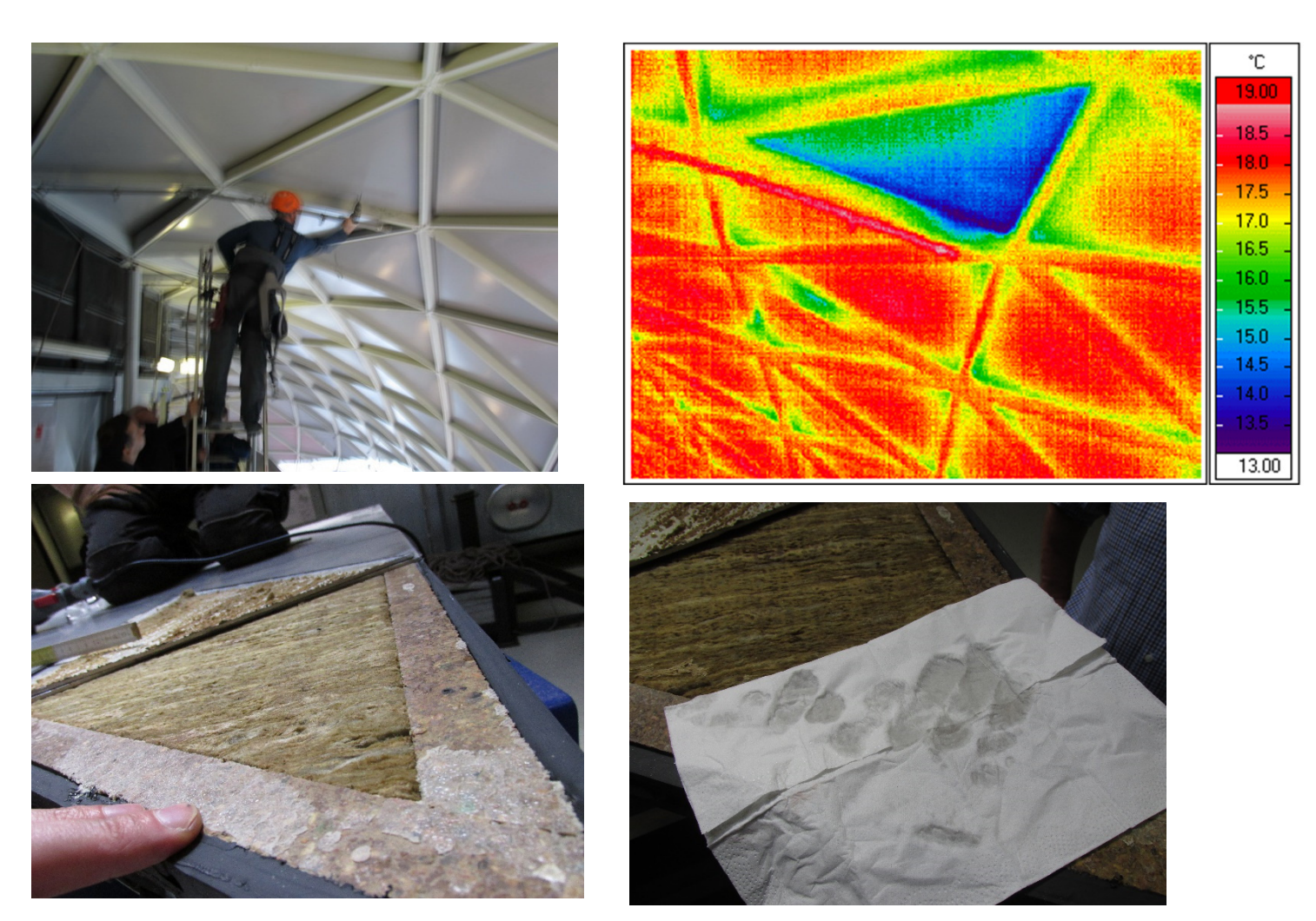
Thermografie zur Lokalisierung von Durchfeuchtungen



Nachweismessung durch Prinzip des kapazitiven elektrischen Feldes (GANN Hydromette)



Thermografie zur Lokalisierung von Durchfeuchtungen



Durchfeuchtete Bereiche einer Paneel-Konstruktion



Untersuchungen vor und nach einer energetischen Gebäudesanierung





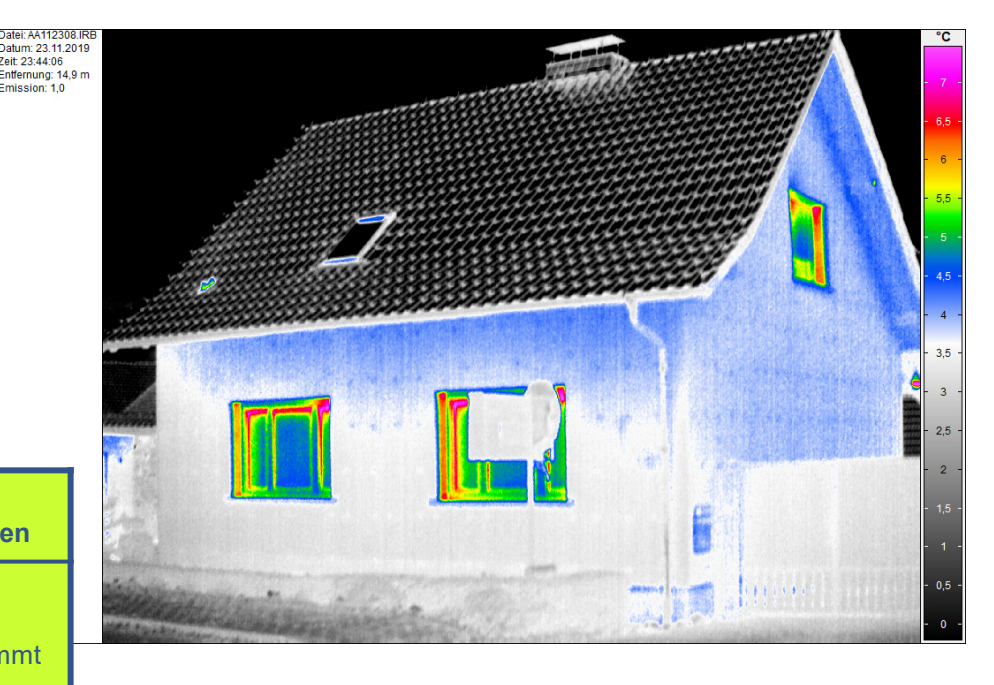
Untersuchungen vor und nach einer energetischen Gebäudesanierung



Referenzfoto

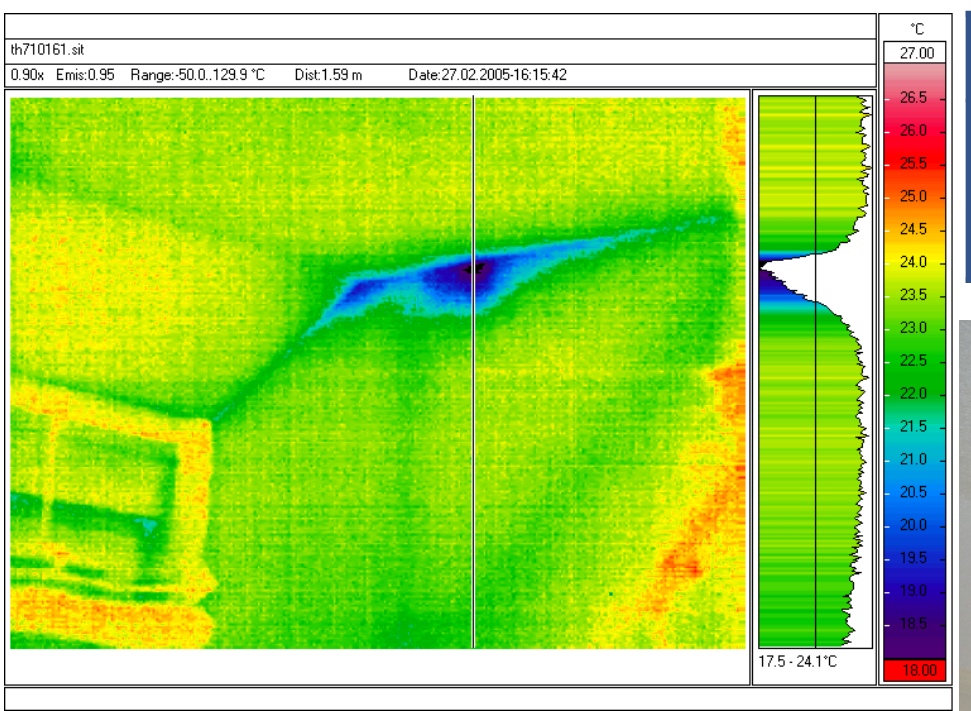
Aufnahme-	Außenluft-	Innenluft-	Weitere
datum	temperatur	temperatur	Informationen
23.11.2019 nachts	ca. +2°C	ca. +22 °C	

Thermografie





Innenaufnahmen



Aufnahme-	Außenluft-	Innenluft-	Weitere
datum	temperatur	temperatur	Informationen
27.05.2005 nachmittags	ca5°C	ca. +25 °C	stabile Kaltwetterlage über einen längeren Zeitraum

Thermografie

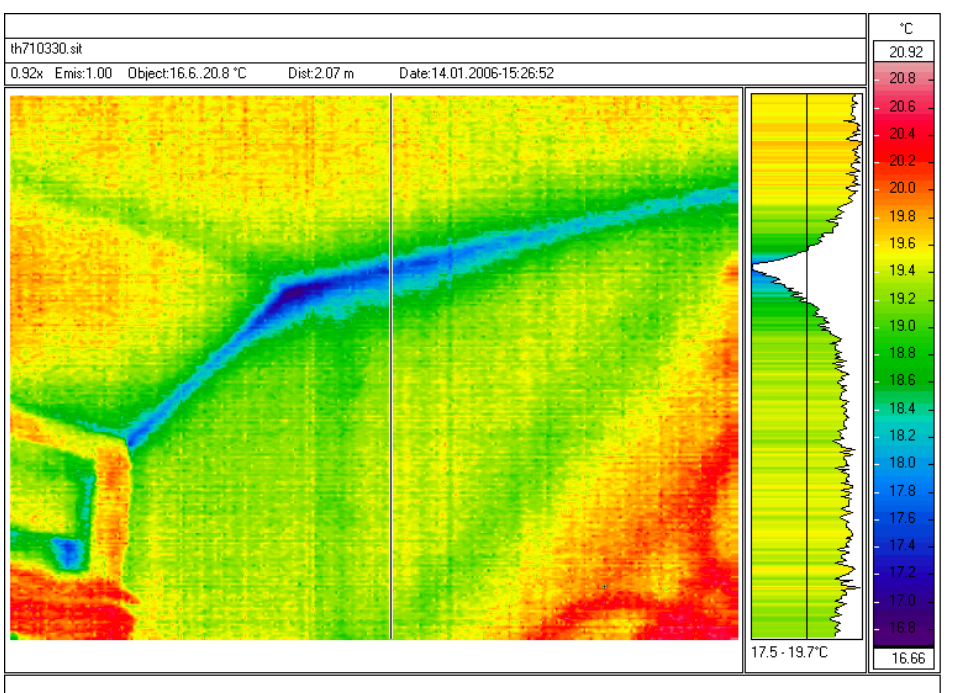
Fehlstelle in der Wärmedämmung

Referenzfoto





Innenaufnahmen



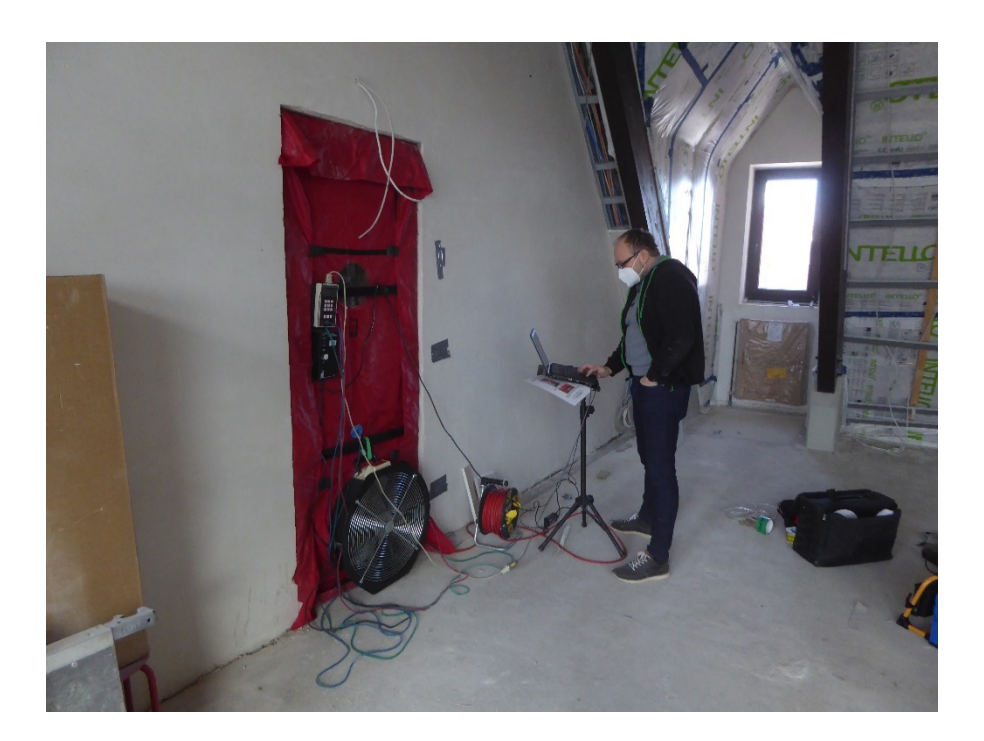
Aufnahme-	Außenluft-	Innenluft-	Weitere
datum	temperatur	temperatur	Informationen
14.01.2006 nachmittags	ca 3°C	ca. +22 °C	J.

Nachdem die Fehlstelle in der Wärmedämmung beseitigt wurde, erfolgte eine Nachkontrolle (ca. 1 Jahr später), Temperaturunterschied: ca. 2 Kelvin

Referenzfoto



Innenaufnahme



Moderate künstliche Druckaufbringung

Aufnahme	Außenluft-	Innenluft-	Weitere
-datum	temperatur	temperatur	Informationen
30.11.2020 Nachmittag	ca. +3°C+	ca. +10 °C	Überprüfung Luftdichtheit und Verklebung



Standort Thermokamera



Innenaufnahmen



Aufnahme	Außenluft-	Innenluft-	Weitere
-datum	temperatur	temperatur	Informationen
30.11.2020 Nachmittag	ca. +3°C+	ca. +10 °C	Überprüfung Luftdichtheit und Verklebung

Aufdeckung der Problemstellen durch moderate Druckaufbringung

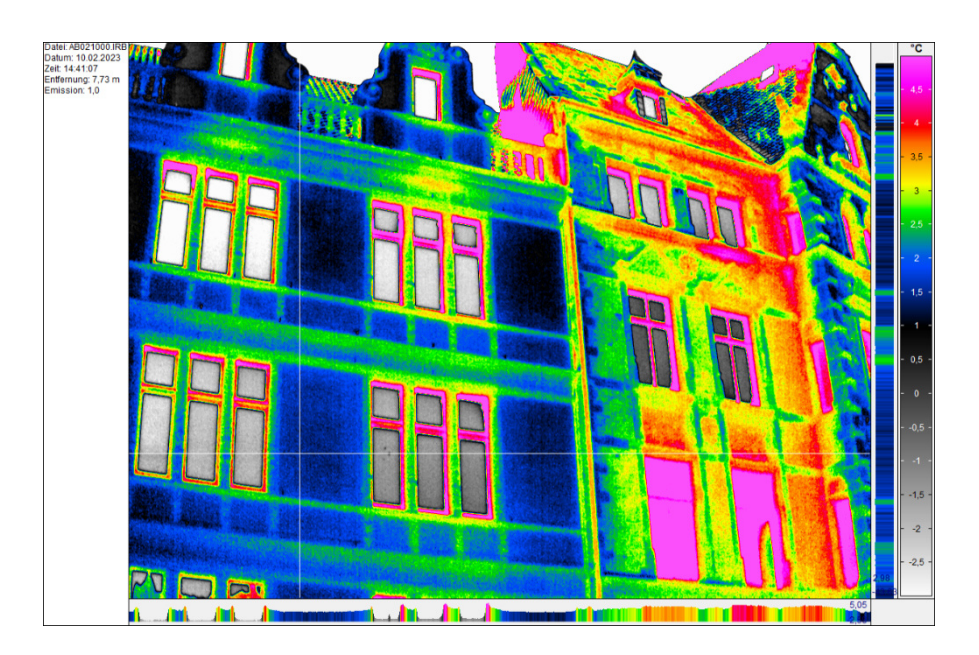
Wärmebrücken/ Undichtigkeiten



Klarbild



Innenwärmedämmung



Aufnahme	Außenluft-	Innenluft-	Weitere
-datum	temperatur	temperatur	Informationen
10.02.2023 Nachmittag	ca. +5°C	ca. +10 °C	Innenwärmedäm msystem mit Vormauerschale

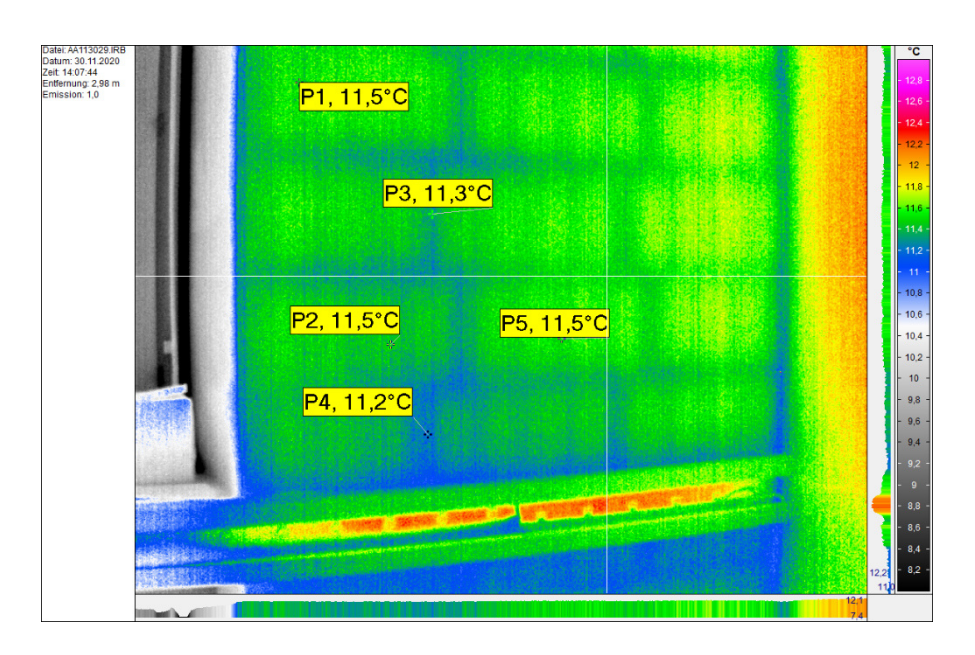
Außenthermografien täuschen bei Innenwärmedämmungen



Klarbild

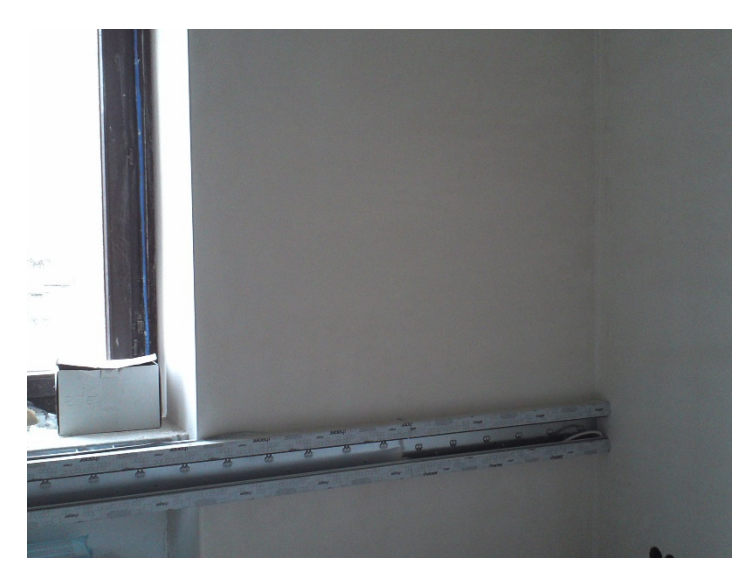


Innenwärmedämmung



Aufnahme	Außenluft-	Innenluft-	Weitere
-datum	temperatur	temperatur	Informationen
10.02.2023 Nachmittag	ca. +5°C	ca. +10 °C	Innenwärmedäm msystem mit Vormauerschale

Kontrolle der Ausführung bei Innenwärmedämmungen



Klarbild



Innenwärmedämmung



Kontrolle der Ausführung bei Innenwärmedämmungen

Aufnahme	Außenluft-	Innenluft-	Weitere
-datum	temperatur	temperatur	Informationen
10.02.2023 Nachmittag	ca. +5°C	ca. +10 °C	Innenwärmedäm msystem mit Vormauerschale





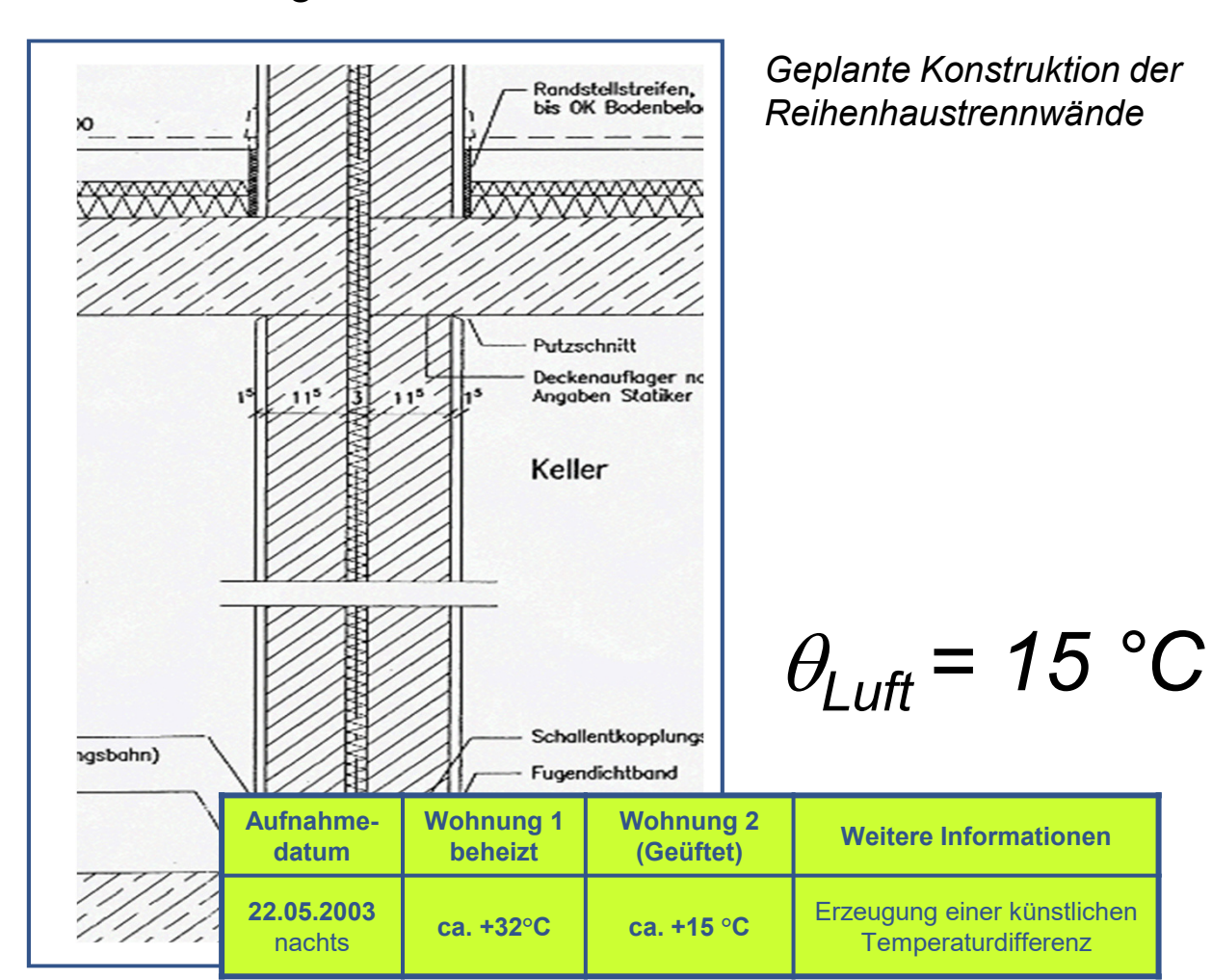
Anwendung der Thermografie für spezielle Untersuchungen



Schallbrücken bei Reihenhaustrennfugen

Erzeugung eines Künstlichen Temperaturgefälles durch Heizlüfter in einem Reihenhaus

$$\theta_{l,uff} = 32 \, ^{\circ}C$$

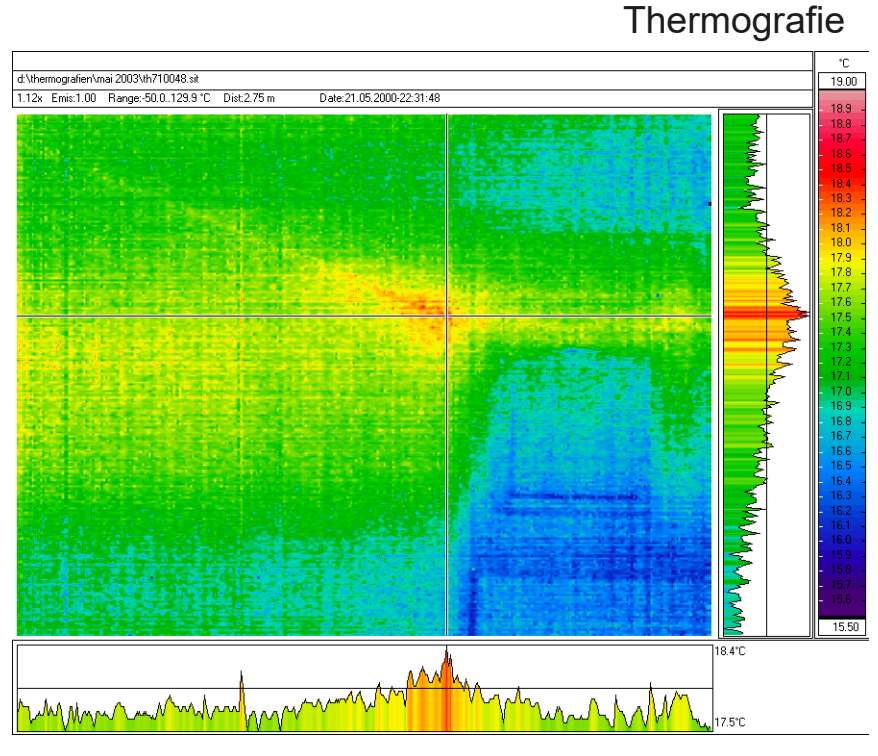




Schallbrücken bei Reihenhaustrennfugen



Referenzfoto



Einbindung der massiven Decke über dem Kellergeschoss in die Mauerwerkstrennwand, erhöhte Oberflächentemperatur nahe des Fensters; hier wurden bei der späteren Öffnung eine fehlende Wärmedämmung in Deckenhöhe und Betonreste festgestellt.

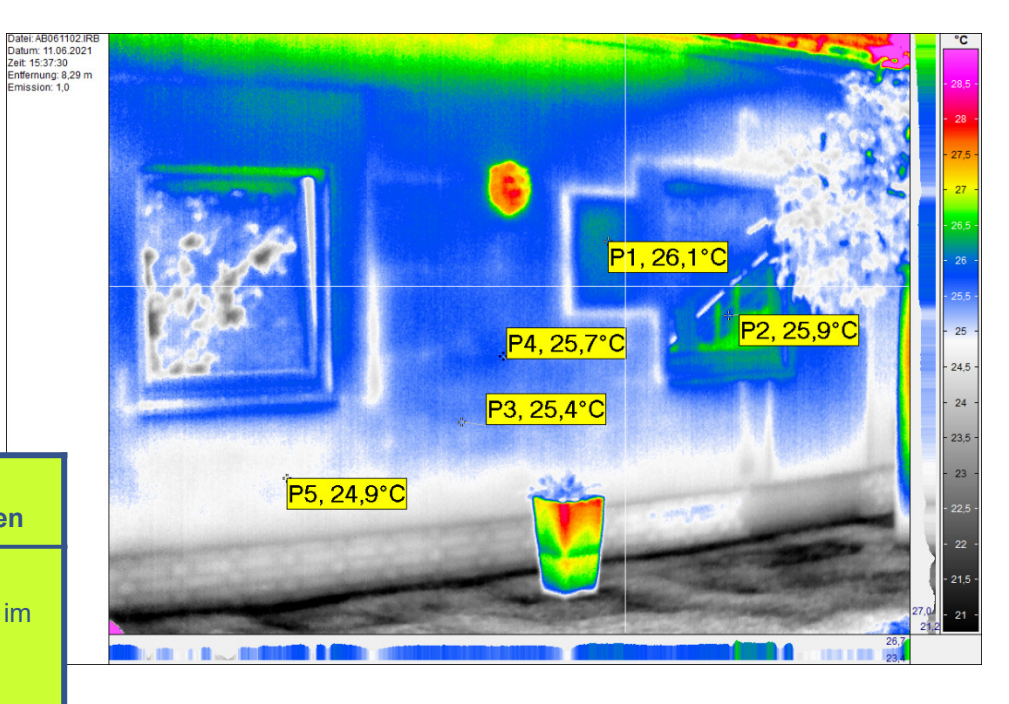
Thermografie unter Ausnutzung natürlicher solarer Aufheizvorgänge



Thermografie

Referenzfoto

Aufnahme-	Außenluft-	Innenluft-	Weitere
datum	temperatur	temperatur	Informationen
11.06.2021 nachmittags	ca. +26°C	ca. +24 °C	Thermografie im Sommer





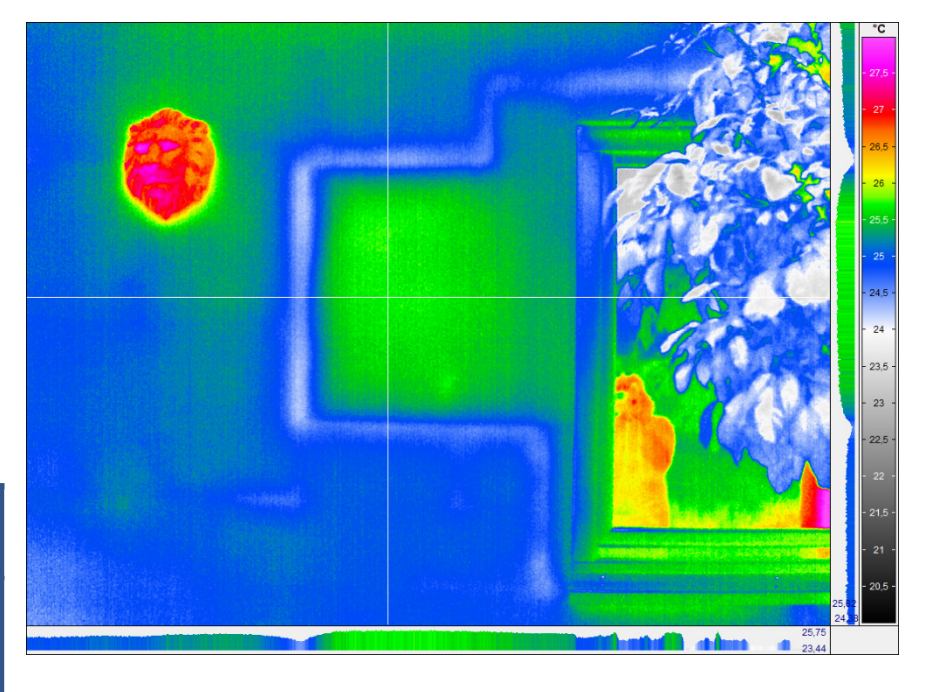
Thermografie unter Ausnutzung natürlicher solarer Aufheizvorgänge



Referenzfoto

Aufnahme-	Außenluft-	Innenluft-	Weitere
datum	temperatur	temperatur	Informationen
11.06.2021 nachmittags	ca. +26°C	ca. +24 °C	Thermografie im Sommer

Thermografie





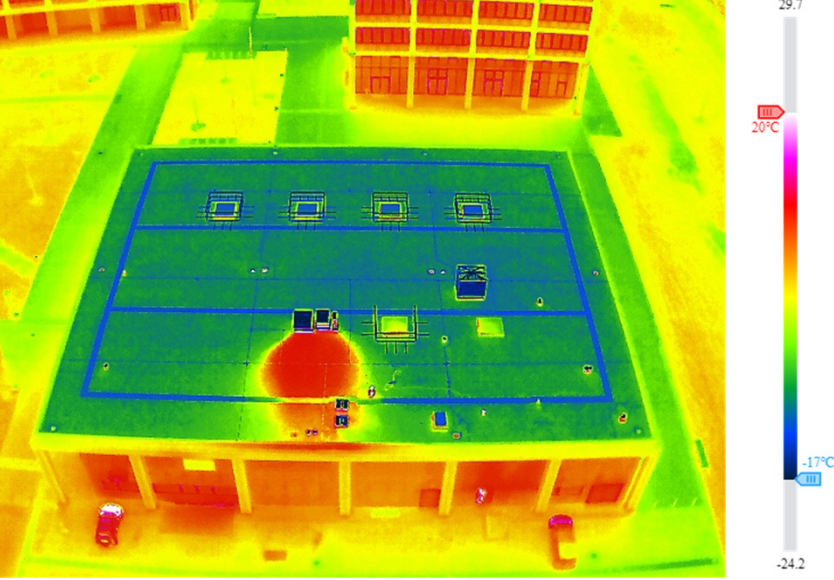




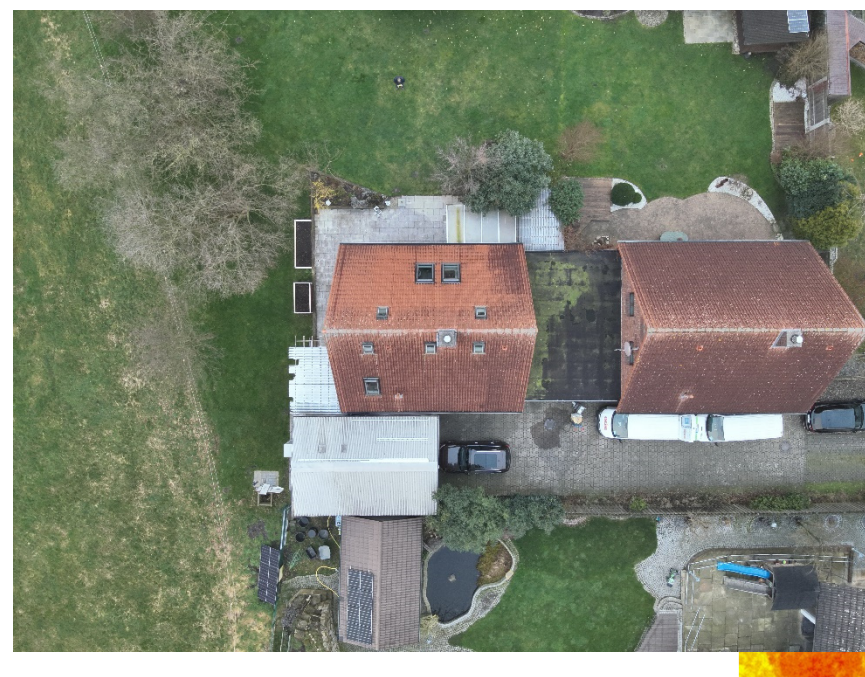


Referenzfoto

Thermografie

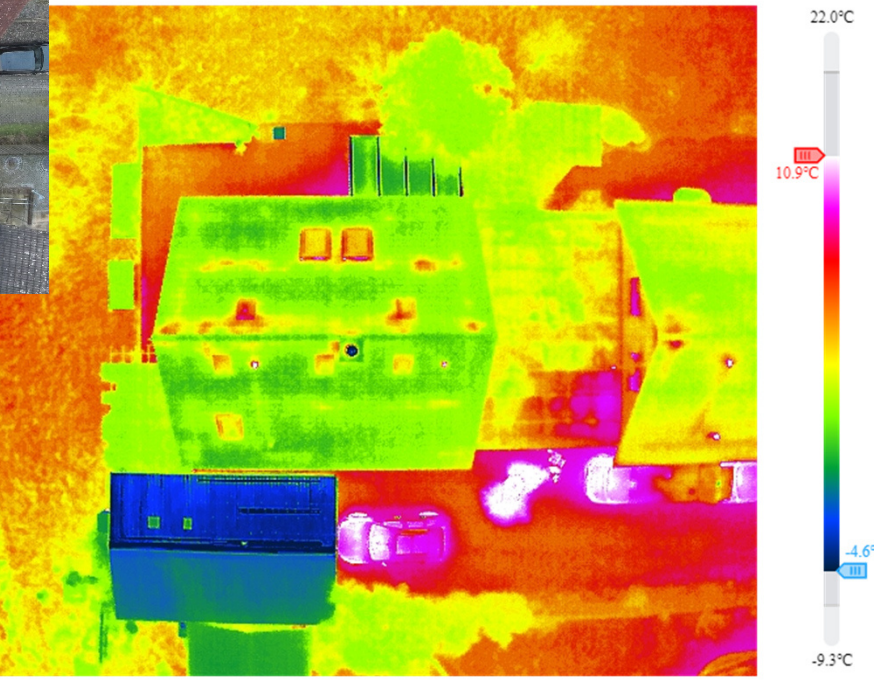






Referenzfoto

Thermografie

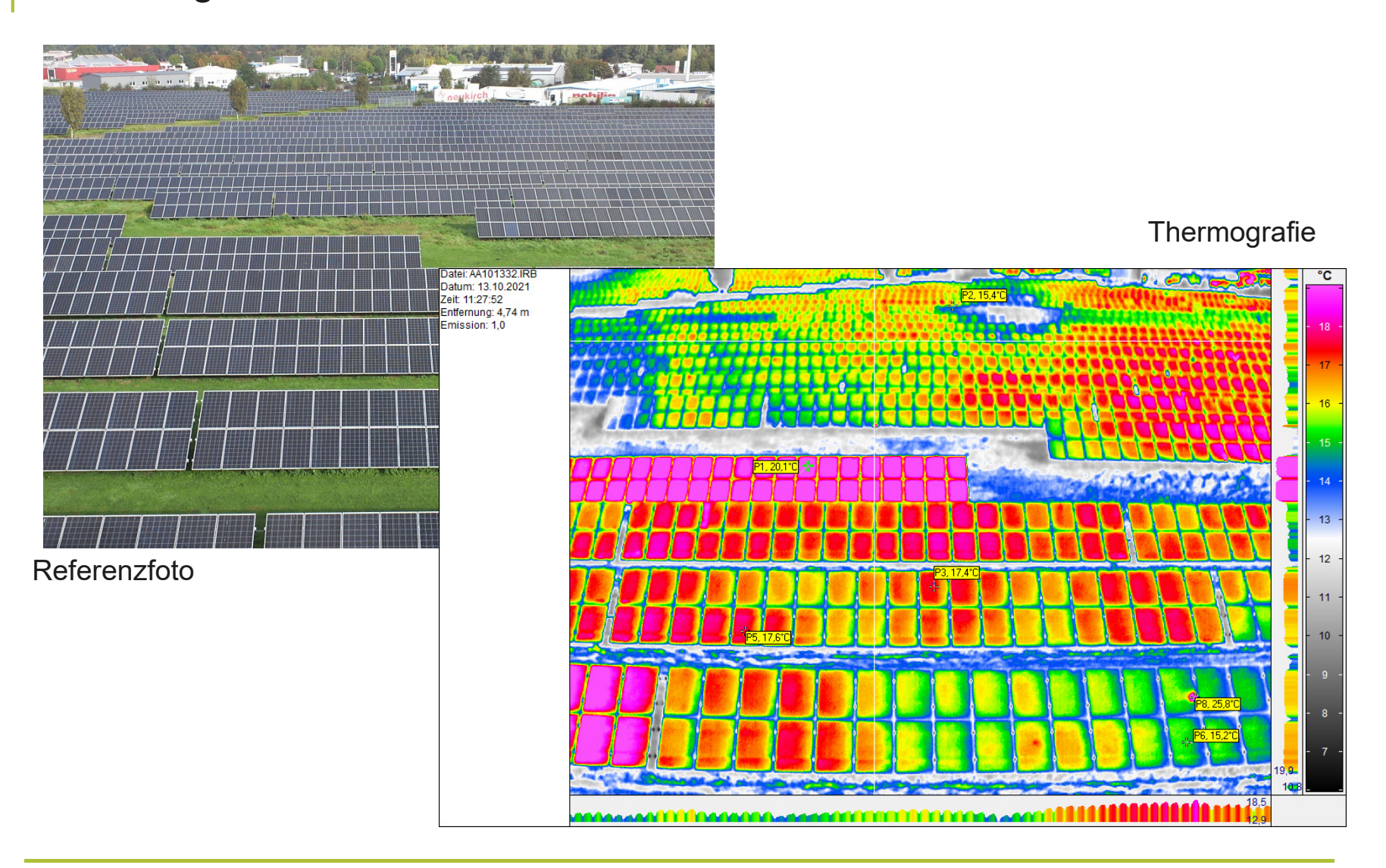


3D Modell



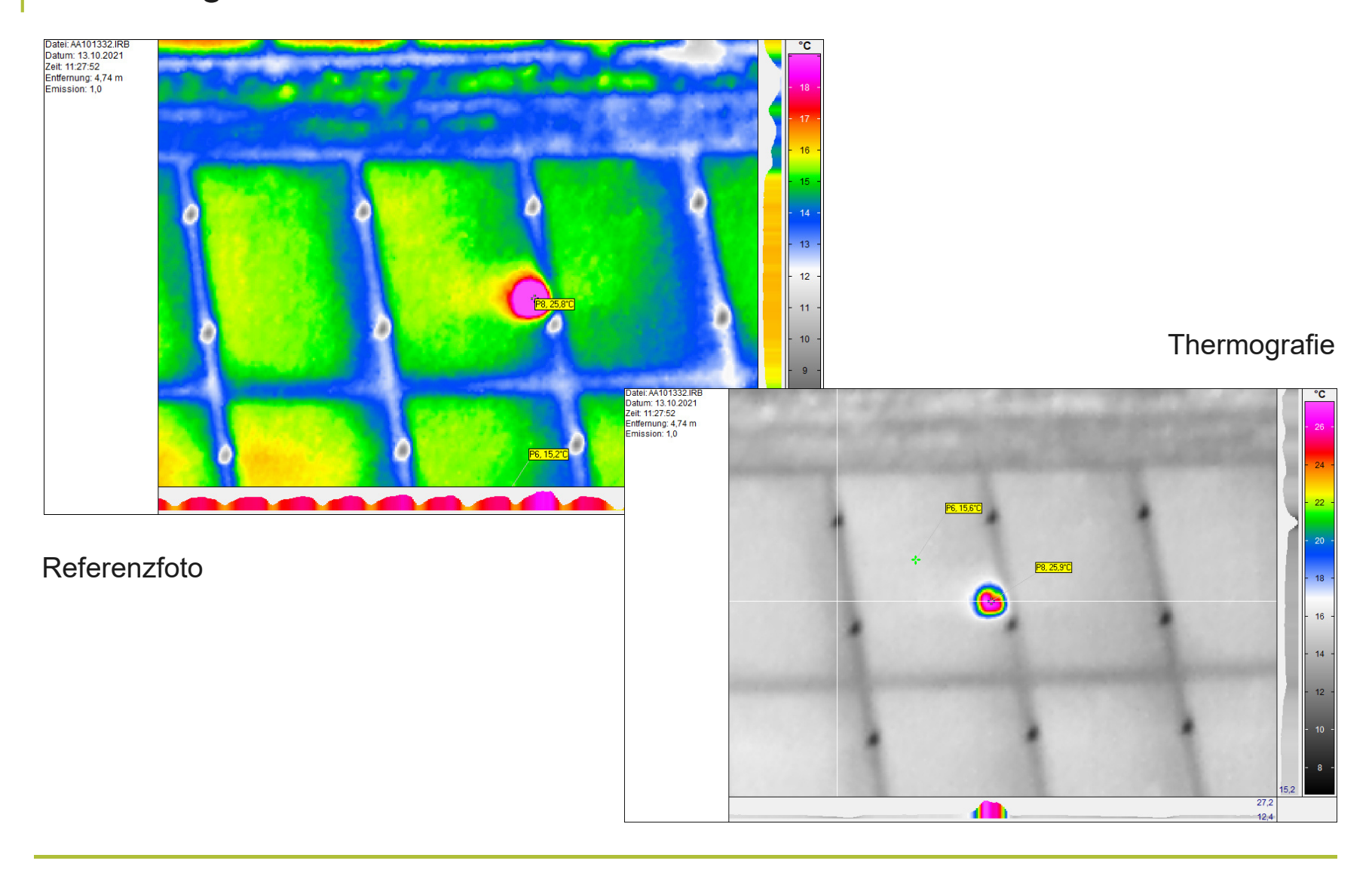


PV-Anlagen





PV-Anlagen





Zusammenfassung

Allgemeine Voraussetzungen

- Anforderungen an das Personal
- Anforderungen an die Thermografiegeräte

Durchführung der thermografischen Untersuchung

- Meteorologische Randbedingungen
- Vorbereitung thermografischer Untersuchungen
- Einfluss der Messumgebung
- Einfluss des zu messenden Körpers (Oberfläche)
- Erfassung signifikanter Einflussgrößen
- Erstellung eines Untersuchungsberichtes



Vielen Dank für die Aufmerksamkeit!

Haben Sie Fragen?



